

# طراحی و ارزیابی تونل‌ها در مناطق شهری-دستاوردها و چالش‌های مدلسازی

علی اکبر گلشنی<sup>۱\*</sup>، احسان مرادآبادی<sup>۲</sup>، امیرحسین رضائی<sup>۳</sup>

۱. دانشیار، مهندسی عمران، دانشگاه تربیت مدرس، تهران

۲. دکترا، مهندسی عمران، دانشگاه عالی دوبلین (یو سی دی)، ایرلند

۳. دانشجوی کارشناسی ارشد، مهندسی عمران، دانشگاه تربیت مدرس، تهران

Golshani@modares.ac.ir

تاریخ پذیرش: ۱۴۰۱/۰۸/۱۰

تاریخ دریافت: ۱۴۰۰/۰۲/۲۳

## چکیده

امروزه با پیشرفت فناوری، سهولت نسبی در حفاری و ساخت سازه‌های زیرزمینی، محدودیت‌های فضاهای سطحی، برای اجرای طرح‌های عمرانی و نیز به واسطه مسائل سیاسی و امنیتی، توجه بسیاری از کشورهای توسعه یافته و در حال توسعه به احداث سازه‌های زیرزمینی برای کاربردهای عمرانی معطوف شده است. از میان آن‌ها، تونل‌های شهری علاوه بر کاهش تاثیر مخرب زیست محیطی، کوتاه‌تر نمودن مسیرها و بهبود کارایی ترافیک، به سبب استفاده عمومی و طولانی مدت از آن‌ها، باید دارای اینمی‌باید باشند. تونل‌ها به عنوان پروژه‌های بزرگ ملی و سرمایه‌گذاری‌های زیربنایی درنظر گرفته می‌شوند و هزینه‌های هنگفتی در سراسر جهان برای ساخت این سازه‌ها هزینه می‌شود. با نگاه به گذشته، سازه‌های زیرزمینی نسبت به سازه‌های سطحی در برابر بارهای دینامیکی آسیب کمتری را متحمل شده‌اند. در سال‌های اخیر زلزله‌های بزرگی مانند زلزله ۱۹۹۵ کوبه<sup>۱</sup> در ژاپن، ۱۹۹۹ چی‌چی<sup>۲</sup> در تایوان، ۱۹۹۹ کوکالی<sup>۳</sup> در ترکیه و ۲۰۰۸ ونچوان<sup>۴</sup> در چین باعث شده‌اند سازه‌های زیرزمینی خطرهای قابل ملاحظه‌ای را تجربه کنند. شواهدی وجود دارد که نشان می‌دهد اینمی‌توانل‌ها در مناطق فعال لرزه‌ای مسئله بسیار مهمی است اما این مسئله هنوز به صورت کامل شناخته نشده است یا حداقل در هنگام ارزیابی و طراحی به خوبی بررسی نشده است. زمین لرزه‌ها با وارد آوردن آسیب شدید یا تعییرشکل بیش از حد ساختار تونل، شاید به طور قابل توجهی روی کارایی تونل‌ها تأثیر می‌گذارند. در این مقاله ابتدا پاسخ‌های ثبت شده تونل‌های واقعی در هنگام زلزله‌های گذشته، سازوکار پاسخ لرزه‌ای تونل و پارامترهای موثر در پاسخ لرزه‌ای تونل‌ها بررسی می‌شود. در ادامه، خلاصه‌ای از مطالعات صورت گرفته در ارتباط پاسخ لرزه‌ای تونل‌ها با آزمایش‌های فیزیکی (آزمایش سانتریفیوژ<sup>۵</sup>، میز لرزش<sup>۶</sup> و آزمایش‌های استاتیکی) ارائه می‌دهد. به دنبال آن در مورد روش‌های تحلیلی، تجربی، شبه استاتیکی و عددی تحلیل دینامیکی تونل بحث می‌شود. در انتها نیز بحث ناهمگنی و کاربرد میدان

- 
1. Kobe
  2. Chi-Chi
  3. Kocaeli
  4. Wenchuan
  5. Centrifuge tests
  6. Shaking table tests

تصادفی برای تحلیل دینامیکی پرداخته شده است و دستاوردها چالش‌های موجود در این زمینه مورد بررسی قرار می‌گیرد. در این مقاله، خلاصهای کلی موجود در درک پاسخ لرزه‌ای تونل‌ها در تلاش برای کار بیشتر در این موضوع‌ها توسط نویسندهای شناسایی شده است.

**واژگان کلیدی:** تونل، تحلیل دینامیکی، روش‌های تحلیلی، روش‌های آزمایشگاهی، مدل سازی عددی.

شکل ۱. میزان آسیب دیدگی تونل‌ها بر اثر زمین لرزه به تفکیک نوع سازه

استفاده شده [3]

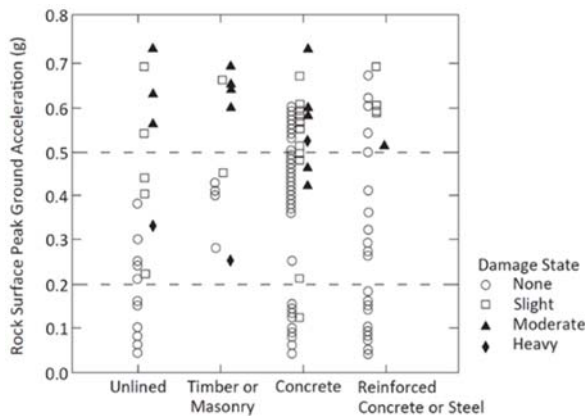


Fig. 1. The extent of tunnel damage due to earthquakes, depending on the type of structure [3]

## ۱- مقدمه

زلزله یک مشکل ملی است، نه فقط یک مشکل منطقه‌ای. تأثیر اقتصادی یک زمین لرزه بزرگ در سراسر ایران احساس خواهد شد. به علاوه، شواهد نشان می‌دهد که زمین لرزه می‌تواند در هر نقطه از ایران رخ دهد. سازه‌های با اهمیت در همه نقاط ایران وجود دارد. پس نیاز ارزیابی سازه‌ها براساس اهمیت آن احساس می‌شود. انتخاب روش ارزیابی، وابسته به میزان اهمیت آن سازه است. از طرف دیگر، سازه‌های زیرزمینی از سطح ایمنی بالاتری نسبت به سازه‌های سطح زمین در برابر امواج لرزه‌ای برخوردار هستند، اما با توجه به تأثیر زلزله‌های اتفاق افتاده در سال‌های اخیر بر سازه‌های زیرزمینی و اهمیت اقتصادی و استراتژیک پژوهش‌های زیرزمینی، ضرورت ارزیابی لرزه‌ای تونل‌ها در برابر بارگذاری‌های لرزه‌ای آشکار خواهد شد.

سازه‌های زیرزمینی جزء اجزای بسیار حیاتی و تاثیرگذار ساختارهای سیاسی و اقتصادی جوامع هستند. در صورت بروز هرگونه حادثه‌ای که منجر به خسارت به این سازه‌ها شود، ضررهای بسیار زیادی به افراد به صورت مستقیم و غیر مستقیم زده خواهد شد. با وجود هزینه بالای ساخت این سازه‌ها، در آینده‌های طراحی توجه خاصی به طراحی لرزه‌ای این سازه‌ها نشده است. حتی تا اواسط دهه هفتاد میلادی گزارش‌هایی از خسارت به سازه‌های زیرزمینی به دلیل حوادث لرزه‌ای گزارش شده است [1, 2]. با این حال تحقیق مناسبی تا سال‌ها بعد صورت نگرفته است. در سال ۱۹۸۱ با استفاده از ۱۲۷ داده تونل نتیجه گرفته شده است که برای بیشترین شتاب زمین کمتر از ۰/۴ شتاب گرانش زمین در تونل‌های سنگی خسارت جزئی دیده شده است [3]. شکل (۱) خلاصه‌ای از نتایج این تحقیق را نشان می‌دهد.

## ۱-۲ عملکرد و رفتار لرزه‌ای تونل‌ها

در مقایسه با ساختمان‌ها و زیرساخت‌های عمرانی سطح زمین، تونل‌ها کمتر در معرض آسیب‌های ناشی از زلزله قرار گرفته‌اند. شرایط خاصی وجود دارد که به وضوح نشان می‌دهد خطر لرزه‌ای قابل توجهی برای یک تونل وجود دارد و به ارزیابی دقیق تر نیاز دارد. این شرایط عبارتند از: یک گسل فعل که تونل را قطع می‌کند، یک زمین لغزش که تونل را قطع می‌کند؛ چه فعل باشد چه غیرفعال، خاک‌های روانگرا نزدیک تونل، وجود حوادثی در تونل مانند ریزش‌های محلی، تغییرشکل‌های بزرگ، ترک خوردن و غیره، اما در صورتی که اقدامات مقاوم‌سازی برای تثبیت تونل انجام شده باشد، نگران کننده نخواهد بود.

پژوهشگران بسیاری تلاش کرده‌اند تا رابطه‌ای بین آسیب مشاهده شده و پارامترهای تأثیرگذار بر رفتار لرزه‌ای، یعنی خواص هندسی پوشش تونل، شرایط ژئوتکنیکی و مشخصات زمین لرزه ایجاد شود. بر این اساس تونل‌های عمیق‌تر با تونل‌های سنگی به طور کلی ایمن‌تر هستند، در حالی که با افزایش بزرگی زمین لرزه و کاهش فاصله کانون خسارت بیشتر بوده است [4].

شکل ۴. حالت های خرابی تونل های گزارش شده در هنگام زلزله ۱۹۹۹ چی چی در تایوان [8]

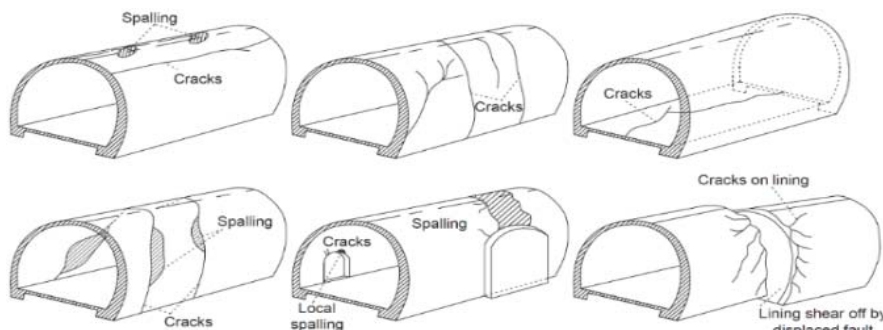


Fig. 4. Tunnel failure modes reported during the 1999 Chi-Chi earthquake in Taiwan [8]

مختلفی از آسیب ها مشاهده شده است، از جمله: ترک های پوشش، خرابی درگاه، جوش خوردن پوشش بتی، ورود آب زیرزمینی، نمایان شدن و کمانش آرماتورها، جابه جایی پوشش تونل، ریزش سنگ، ریزش پوشش تونل ناشی از گسیختگی شب و شکاف روسازی (شکل ۴). خسارت شدید نزدیک به دامنه های سطح یا دهانه های ورودی مشاهده شد، در حالی که مقطع های مدفون عمیق تر رفتار بهتری داشتند.

۲۵۴ گزارش از زلزله چی چی، زمین لرزه منطقه مید نیگانا و زلزله ۲۰۰۸ ونچوان، جمع آوری و طبقه بندي شده اند که شرح مختصراً از خسارت را برای هر سطح پیشنهادی ارائه داده شده است [9]. خسارت تونل تاورایاما<sup>۷</sup> ناشی از زمین لرزه ۲۰۱۶ کوماموتو<sup>۸</sup> را بررسی و گزارش داده شد که ترک های حلقوی در تونل با فاصله ۱۰ متر در حدود ۲۰٪ دهانه تونل پیدا شده است. این مشاهده به تعامل بین انتشار موج لرزه ای و شرایط زمین شناسی در محل نسبت داده شد [10]. به تازگی با هدف ارزیابی توانایی روش های تجزیه و تحلیل موجود برای پیش بینی عملکرد لرزه ای، تجزیه و تحلیل برگشتی از خسارات وارد شده به تونل سن بندیتو<sup>۹</sup> در هنگام زلزله ۲۰۱۶ نورسیا<sup>۱۰</sup> در ایتالیا انجام داده شد. روش های ساده، که در آن بارگذاری لرزه ای به روش

با استفاده از داده های موجود، روابط پیش بینی حرکت زمین و گسترش داده های قبلی با گزارش خسارت تونل ها در هنگام زلزله ۱۹۹۵ هیوگوکن-نامبو<sup>۱</sup> در کوبه، راپن، خسارت جزئی در تونل ها را برای مقادیر بیشترین شتاب زمین کمتر از ۰/۲ شتاب گرانش زمین و خسارت جزئی تا سنگین را برای بیشترین شتاب زمین بیشتر از ۰/۲ شتاب گرانش زمین مشاهده شد [5]. زمین لرزه هیوگوکن-نامبو یک رویداد مخرب برای تونل ها بود، زیرا بیش از ۱۲٪ از تونل ها در منطقه مرکزی به شدت آسیب دیده بودند.

نمونه دیگر از خسارات گسترده ناشی از آثار ترکیبی زمین لرزه و تغییر شکل دائمی زمین، ریزش تونل دوقلوی بولو<sup>۲</sup> در هنگام زلزله ۱۹۹۹ کوچائلی<sup>۳</sup> است [6, 7]. این ریزش در حین ساخت و ساز در قسمت ناتمام تونل رخ داد که به شکل بیضی تغییر شکل داده بود که باعث خرد شدن شاتکریت و کمانش دندنه های فولادی در شانه و زانوها شد.

در هنگام زلزله ۱۹۹۹ چی چی در تایوان، تعداد زیادی از تونل های کوهستانی خسارت کمی<sup>۴</sup> متحمل شدند. ۵۰٪ از ۲۶ تونل واقع در ۲۵ کیلومتری گسل زلزله به شدت<sup>۵</sup> آسیب دیده اند، در حالی که بیش از ۲۰٪ از تونل ها متوسط<sup>۶</sup> آسیب دیده اند. انواع

۶. ترک خوردگی پوشش تونل، نمایان شدن آرماتورها، جابه جایی پوشش تونل، ورود آب زیرزمینی و کمی اختلال در ترافیک عبوری.

7. Tawarayama

8. Kumamoto

9. San Benedetto

10. Norcia

1. Hyogoken-Nambu

2. Bolu

3. Kocaeli

4. آسیب کم که در بازرسی بصری شناسایی شدند و تاثیری بر ترافیک عبوری نداشتند.

5. شکست شبیت در دهانه ها، فرو ریختن سازه اصلی تونل، آسیب دیدگی سیستم تهویه و روشنایی و اختلال کامل ترافیک عبوری.

خرابی‌های زمین ناشی از لرزه، به عنوان نمونه خرابی‌های ناشی از روانگرایی، حرکات گسل یا خرابی شیب شکل (۶)، ممکن است باعث تغییرشکل دائمی زمین در تونل‌ها شود. در واقع، تعداد زیادی از خرابی‌های تونل‌ها به تغییرشکل زمین ناشی از زمین لرزه نسبت داده شده است [12].

شکل ۶. نمونه‌هایی از آثار خرابی زمین لرزه‌ای در تونل‌ها [8]

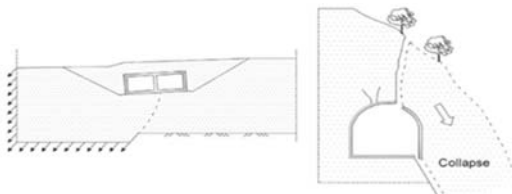


Fig. 6. Examples of the effects of seismically-induced ground failures on tunnels [8] earthquake in Taiwan [8]

به دلیل حالت‌های تغییر شکل متمایز تونل‌ها و سطح بالقوه آسیب ناشی از لرزش زمین در جهات طولی و عرضی و همچنین خرابی‌های زمینی ناشی از زلزله، تجزیه و تحلیل این سازه‌ها در برابر آثار لرزه‌ای فوق، معمولاً به حالت‌های مختلف تفکیک شده است. در این زمینه، روش‌های مختلفی برای تجزیه و تحلیل تونل‌ها در برابر لرزش زمین در جهات عرضی و طولی و همچنین خرابی‌های زمین لرزه‌ای استفاده می‌شود. برخی از این روش‌ها در راهنمایی مربوط به طراحی معرفی شده‌اند [13]. همچنین، مطالعات تجربی و عددی مربوطه بیشتر روی یکی از آثار لرزه‌ای فوق جداگانه متتمرکز شده است.

## ۲- پارامترهای موثر در پاسخ لرزه‌ای تونل

مطالعات صورت گرفته درمورد رفتار لرزه‌ای تونل‌ها، با تعیین نقش پارامترهای تاثیرگذار بر پاسخ تونل نیز همراه بوده است. پاسخ لرزه‌ای یک تونل بسیار تحت تأثیر آثار متقابل ساختار خاک است که در هنگام لرزش زمین اتفاق می‌افتد. از این رو، ویژگی‌های زمین اطراف و واکنش آن در هنگام لرزش زمین، ویژگی‌های هندسی و عمق دفن تونل، سختی نسبی خاک به تونل، ویژگی‌های بهم‌کش خاک و تونل و همچنین ویژگی‌های حرکت زمین، پارامترهای مهمی هستند که پاسخ را تحت تأثیر قرار می‌دهند [6, 14-16]. تغییر عمق تونل هیچ تاثیری در پاسخ شتاب حداقل را سطح خاک ندارد، اما با افزایش عمق، نیروهای بیشتری به پوشش تونل وارد می‌شوند و لنگر خمی

ایستایی معادل معرفی می‌شود، پیش‌بینی‌های معقولی را ارائه می‌دهند، در حالی که پاسخ‌های دقیق‌تر توسط تجزیه و تحلیل‌های دینامیکی مطالعه موردنی ارائه می‌شود.

## ۳- سازوکارهای پاسخ لرزه‌ای

پاسخ لرزه‌ای تونل‌ها در مقایسه با سازه‌های روی زمین کاملاً متفاوت است، زیرا بارگذاری حرکتی ناشی از زمین اطراف بیش از بارهای اینرسی ناشی از نوسان تونل است [6, 11]. مشاهده خسارات ناشی از زلزله‌های گذشته نشان داد که تونل‌ها در مناطق لرزه‌خیز، باید به طور کلی برای مقابله با لرزش زمین به دلیل انتشار موج یا تغییر شکل دائمی زمین به دلیل خرابی زمین ناشی از لرزه مانند روانگرایی، تغییر مکان جانی، رانش زمین و گسیختگی گسل طراحی شوند.

انتظار می‌رود که لرزش زمین در امتداد محور طولی یک تونل تغییرشکل محوری و خمی طولی ایجاد کند، در حالی که برای لرزش در جهت عرضی، تونل بیضی شکل (برای مقاطع دایره‌ای) یا یک اعوجاج ترکیبی با تغییرشکل زیاد (برای مقاطع مستطیلی) دچار شود (شکل ۵).

شکل ۵. حالت‌های تغییرشکل سازه‌های زیرزمینی در معرض امواج لرزه‌ای [8]

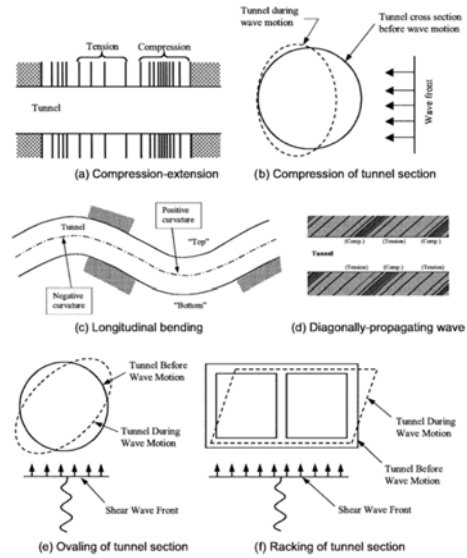
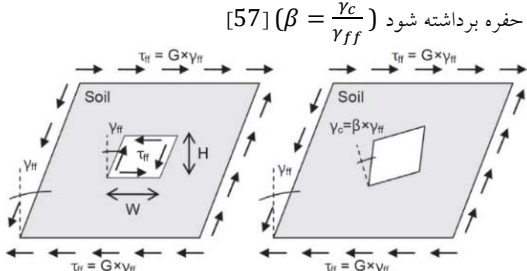


Fig. 5. Modes of deformation of underground structures exposed to seismic waves [8] earthquake in Taiwan [8]

را بر اساس کارهای نیومارک<sup>۳</sup> پیشنهاد کرد [56]. در آن زمان، این راه حل‌ها ابزار بسیار مفیدی را برای تخمین رفتار لرزه‌ای تونل‌های تحت لرزش زمین در دو جهت طولی و عرضی فراهم کردند. پژوهشگران از روش تغییرشکل میدان آزاد برای تخمین کرنش‌ها و انحنای تونل برای حرکت زمینی که با یک زاویه نسبت به محور تونل پخش می‌شود، استفاده کردند و برخی اصلاحات را در راه حل‌های تحلیلی آن‌ها برای محاسبه آثار متقابل خاک و تونل ارائه دادند. وانگ<sup>۴</sup> بیشتر آثار متقابل تونل-خاک را در چارچوب یک مطالعه مروی جامع بررسی کرد، که حاوی عناصر جدیدی نیز بود [14]. پنزيان<sup>۵</sup> راه حل‌های بسته‌ای را برای تجزیه و تحلیل لرزه‌ای تونل‌های عمیق مستطیلی و دایره‌ای، با بارگذاری لرزه‌ای به صورت ساده شبیه‌سازی شده، به عنوان یک توزیع یکنواخت برش-کرنش اعمال شده بر مرزهای سیستم خاک-تونل به دور تونل ارائه داد [57] (شکل ۱۱). با این حال، راه حل‌های پنزيان، اثر تنش‌های عمودی ایجاد شده در هنگام بارگذاری در برهم کش خاک-تونل نادیده می‌گرد. او فرض کرد که تغییرشکل تونل ممکن است با تغییرشکل یک حفره دایره‌ای (به عنوان نمونه با در نظر گرفتن پارامتر  $\beta$ ) شکل (۱۱) تقریبی زده شود.

ایجاد شده روی پوشش تونل نیز افزایش می‌یابد. جابه‌جایی پوشش نیز با افزایش عمق کاهش می‌یابد [17, 18]. گشتاور خمی در پوشش تونل با ضخامت آن افزایش می‌یابد به طوری که با افزایش ابعاد تونل، سختی خمی افزایش می‌یابد و توانایی تحمل نیروهای بیشتری را دارد [17, 19]. شرایط برهم کنش خاک-تونل همچنین به کاهش تغییرشکل در پوشش تونل کمک می‌کند، که در آن اعوجاج در شرایط برهم کنش با لغش کامل می‌کند، که در آن اعوجاج در شرایط برهم کنش با لغش کامل ۶-۱۸٪ بیشتر از شرایط برهم کنش بدون لغش است [20]. شکل تونل، پاسخ کلی سیستم تونل خاک تحت بارهای دینامیکی را تعیین می‌کند. تونل‌های دایره‌ای عملکرد بهتری نسبت به سایر اشکال تونل در برابر بارهای لرزه‌ای نشان می‌دهند [17, 20]. با مطالعه رفتار لرزه‌ای به نظر می‌رسد که شدت آریاس<sup>۱</sup> موج ورودی بیشتر از بیشینه شتاب موج ورودی تعیین کننده است، به طوری که برای دو موج زلزله اعمال شده با بیشینه شتاب برابر، موج با شدت آریاس بیشتر، تخریب بیشتری داشت [18]. به طور خلاصه عمق تونل، ضخامت پوشش تونل و شدت آریانس رابطه مستقیم با نیرو زلزله و آسیب‌های ناشی از آن دارد، اما شرایط برهم کنش خاک-تونل رابطه معکوس با نیرو و آسیب زلزله دارد. همچنین در بین اشکال مختلف تونل، تونل دایره‌ای بهترین عملکرد را در هنگام زلزله دارد.

شکل ۱۱. تغییرشکل تونل مستطیلی  $H \times W$  در معرض یک توزیع یکنواخت برش-کرنش. شکل سمت چت: با توزیع تنش برشی میدان آزاد که روی سطح حفره اعمال می‌شود. شکل سمت راست: با توزیع تنش برشی میدان آزاد، از سطح حفره برداشته شود ( $\beta = \frac{\gamma_c}{\gamma_{ff}}$ ) [57]



**Fig. 11.** Deformation of  $W \times H$  rectangular cavity subjected to a uniform shear strain distribution.  $\gamma_{ff}$ : (Figure left) with free-field shear stress distribution applied to cavity surface; (Figure right) with free-field shear stress distribution removed from cavity surface ( $\beta = \frac{\gamma_c}{\gamma_{ff}}$ ) [57]

### ۳- روش‌های تحلیلی و تجربی

سیاری از پژوهشگران راه حل‌های تحلیلی را برای تخمین نیروهای داخلی لرزه‌ای پوشش‌های تونل، تحت پیش‌فرضها و شرایط خاص مانند پاسخ الاستیک خاک و پوشش تونل و شبیه‌سازی بار لرزه‌ای به حالت نیمه ایستا ارائه داده‌اند. راه حل‌های تحلیلی با استفاده از فرضیات و ساده‌سازی‌ها، برای طراحی لرزه‌ای مقدماتی تونل‌ها مفید، سریع و آسان هستند. از این رو، در مراحل اولیه طراحی به طور گسترده‌ای مورد استفاده قرار می‌گیرند. اساس طراحی لرزه‌ای برای سازه‌های زیرزمینی برای اولین بار توسط سنت جان<sup>۶</sup> پایه‌گذاری شد [55]، او راه حل‌های ساده بسته

4. Wang  
5. Penzien

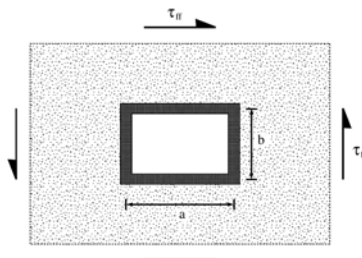
1. Arias intensity  
2. St John  
3. Newmark

می‌شوند. کورتریس<sup>4</sup> مجموعه‌ای از روابط را برای تونل‌های تحت فشار امواج P نیز ارائه داد [63-65]. به دنبال توسعه سریع در توانایی‌های قدرت محاسباتی در دو دهه گذشته، پژوهشگران شروع به اعتبارسنجی نتایج حاصل از راه حل‌های تحلیلی در برابر پیش‌بینی‌های مدل‌های عددی پیچیده، به منظور شناسایی کاستی‌های این راه حل‌های تحلیلی کردند. به عنوان نمونه، کنتو<sup>5</sup> چهار مدل تحلیلی مختلف را مقایسه کرد [62, 61, 14, 57, 61] و آن‌ها را در برابر شبیه‌سازی‌های المان محدود<sup>6</sup> تأیید کرد [66].

کاربرد راه حل‌های تحلیلی با فرض‌هایی که بر اساس آن‌ها محدود شده‌اند، به طور خلاصه در جدول (۱) آمده‌اند. از آنجا که پاسخ خاک همیشه کشش خطی در نظر گرفته می‌شود، به جز روش بابت در سال ۲۰۰۸، راه حل‌ها فقط هنگامی که زمین تغییر‌شکل‌های کوچک را تجربه می‌کنند، دقیق‌تر هستند. راه حل‌های پاسخ لرزه‌ای عرضی در شرایط کرنش صفحه‌ای به دست می‌آیند و از این رو نمی‌توان از آن‌ها برای طرح‌های پیچیده استفاده کرد. برهم کنش در بیشتر موارد به دو شرایط کامل یا بدون لغزش محدود می‌شود، در حالی که پوشش مداوم فرض می‌شود. بر اساس بحث فوق، پس از شناسایی راه حل‌های قابل استفاده برای تونل مورد نظر، با توجه به سختی نسبی خاک-تونل، ماهیت برهم کنش خاک-تونل، شرایط محل پروژه و نوع موج لرزه‌ای که به احتمال زیاد توسط تونل تجربه می‌شود، باید از راه حل‌های تحلیلی استفاده شود. نتایج حاصل از راه حل‌های تحلیلی، در بیشتر موارد باید توسط شبیه‌سازی‌های عددی، که نمایانگر بهتر پدیده‌های برهم کنش تونل و زمین هستند، تأیید شود. در مقاله رشیددل، چهار روش تحلیلی وانگ، پنزن، پارک و بابت بر اساس طراحی لرزه‌ای تونل دایره‌ای در خط ۶ مترو تهران ارزیابی شدند [67]. برای این منظور، یک روش عددی نیمه استاتیک در چارچوب روش تفاضل محدود تحت همان فرضیات استفاده شد. در ابتدا، مقایسه نتایج تجزیه و تحلیل عددی شبه استاتیک یک محیط شهری با راه حل‌های تحلیلی است. نتایج این

هوو<sup>1</sup> با درنظر گرفتن الگوی تغییرشکل واقعی تونل‌های مستطیلی شکل و محاسبه تنش‌های عمودی و برشی در برهم کنش خاک-تونل، راه حل‌های بهبود یافته‌ای ارائه داد [58].

شکل ۱۲. ساختار مستطیلی در محیط نامحدود [58]



**Fig. 12.** Rectangular structure in an infinite medium [58]  
راه حل‌های تحلیلی معمولاً رفتار الاستیک خطی خاک را در نظر می‌گیرند و بنابراین، آن‌ها به طور ضمنی برای مدول برشی خاک، مستقل از هم حساب نمی‌شوند. بابت<sup>2</sup> این کاهش مدول برشی را با استفاده از یک روش تکرار شونده برای تنظیم مدول برشی زمین، بسته به سطح کرنش برشی تا رسیدن به همگرایی کرنش برشی، در نظر گرفت [59].

همه راه حل‌های بسته فوق بدون توجه به اثر اشباع خاک ایجاد شده‌اند. بابت راه حل‌هایی را برای تونل‌های دایره‌ای در خاک اشباع شده با فرض برهم کنش بدون لغزش پیشنهاد داد [60]. در مطالعه بعدی بابت راه حل‌های قبلی را برای تجزیه و تحلیل پاسخ تونل‌های مستطیل شکل تحت شرایط برهم کنش بدون لغزش و لغزش کامل و همچنین تحت شرایط زهکشی شده و زهکشی نشده خاک گسترش داد [61]. پارک<sup>3</sup> با مرور مجدد راه حل‌های فوق، روش جدیدی را برای محاسبه لغزش احتمالی (حالت‌های بدون لغزش، لغزش اصطکاکی و لغزش کامل) در برهم کنش خاک-تونل معرفی کرد [62].

بیشتر روابط تحلیلی پیشنهادی خلاصه شده در بالا مربوط به امواج برشی S است که در جهت عرضی تونل به سمت بالا پخش

5. Kontoe

1. Huo

6. Finite Element

2. Bobet

3. Park

4. Kouretzis

شکل ۱۳. خروجی بیشترین نیروی محوری در مقابل نسبت نرمی در شرایط بدون لغزش [67]

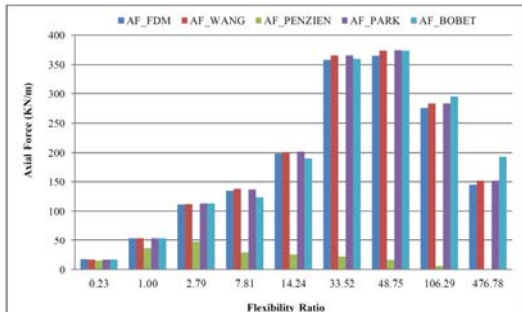


Fig. 13. Maximum axial force output versus flexibility ratio in no-slip condition [67]

شکل ۱۴. خروجی بیشترین ممان خمسمی در مقابل نسبت نرمی در شرایط بدون لغزش [67]

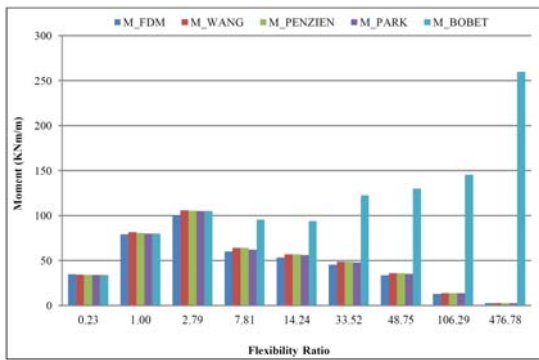


Fig. 14. Maximum moment output versus flexibility ratio in no-slip condition [67]

اطلاعات موجود در ارتباط با سازه‌های زیرزمینی در مقایسه با سازه‌های سطحی بسیار کمتر است. با این وجود، تحقیقاتی در ارتباط با خسارات ناشی از زلزله بر روی سازه‌های زیرزمینی صورت گرفته است. در ارتباط با درصد خسارات واردہ به تونل در اثر زلزله می‌توان به داویدینگ<sup>۱</sup> و روزن<sup>۲</sup> در سال ۱۹۷۸، مطالعات اون<sup>۳</sup> و شول<sup>۴</sup> در سال ۱۹۸۱ و شارما<sup>۵</sup> و جوود<sup>۶</sup> در سال ۱۹۹۱ اشاره کرد. اون پاسخ تونل را در شرایط زلزله به سه

بخشن ضعف روش‌های پنزن و بابت را در برآورد نیروی محوری و گشتاور در شرایط بدون لغزش نشان داد. پس از آن، یک سری اعتبار سنجی تحت سرعت موج های برشی مختلف برای بررسی عملکرد روش تحلیلی پنزن و تعیین کلیات راه حل تحلیلی وانگ و پارک انجام شد. نتایج نشان داد که در شرایط بدون لغزش، راه حل تحلیلی پنزن برای تخمین نیروی محوری نتایج مشابه را فقط برای  $F \leq 1$  در روش‌های عددی ارائه می‌دهد. همچنین، راه حل بابت برای تخمین گشتاور خمسمی در شرایط بدون لغزش برای  $F \leq 2.79$  نتایج مشابه روش‌های عددی و سایر راه حل‌های تحلیلی را ارائه می‌دهد. بنابراین روش‌های تحلیلی وانگ و پارک در تمام سناریوهای زلزله و نسبت‌های مختلف انعطاف پذیری، با تجزیه و تحلیل عددی شبیه استاتیک نتایج بسیار دقیقی دارند. همچنین برای نشان دادن تأثیر لغزش بین پوشش تونل و خاک در برآورد نیروهای داخلی در هنگام بارگذاری لرزه‌ای و همچنین ضریب اطمینان از انعطاف پذیری روش پارک از نظر شرایط لغزش، یک تجزیه و تحلیل عددی شبیه استاتیک تحت شرایط لغزش واقعی بین پوشش و خاک صورت گرفت. نتایج کاهش قابل توجهی در نیروی محوری و گشتاور خمسمی را نشان داد. علاوه بر این، نتایج تجزیه و تحلیل عددی هماهنگی خوبی با نتایج راه حل تحلیلی پارک داشت. با توجه به نتایج ارائه شده می‌توان نتیجه‌گیری کلی کرد که از راه حل‌های پنزن نباید در طراحی تونل بدون لغزش تحت بارگذاری لرزه‌ای استفاده شود و از راه حل‌های تحلیلی وانگ به عنوان برآورد اولیه با احتیاط استفاده شود. با این حال، راه حل تحلیلی پارک، به دلیل توانایی شبیه‌سازی لغزش در رابط پوشش داخلی و هماهنگی نتایج آن با استفاده از روش‌های عددی در انواع مختلف خاک (طیف گسترده‌ای از F)، تخمین دقیق‌تری را در بارگذاری لرزه‌ای نسبت به روش‌های دیگر فراهم می‌کند. در نتیجه، روش پارک در انواع زلزله، خاک و شرایط لغزش بین پوشش و خاک قابل استفاده است [67].

4. Scholl

5. Sharma

6. Judd

1. Dowding

2. Rozan

3. Owen

تغییرشکل محوری، تغییرشکل انحنای تونل و تغییرشکل بیضوی در تونل‌های دایره‌ای و کج شدن در تونل‌های مستطیلی بیان کرد [3]. در اشکال (۱۵ و ۱۶) خلاصه‌ای از مطالعات صورت گرفته، ارائه شده است.

شکل ۱۵. اثر عمق روباره بر تخریب [4]

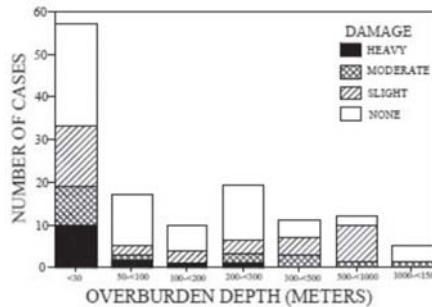


Fig. 15. Effects of overburden depth on damage [4]

شکل ۱۶. اثر بیشینه شتاب سطح زمین بر تخریب [4]

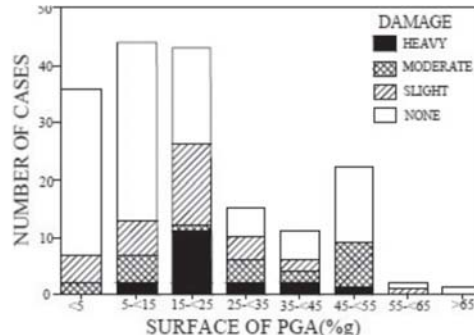


Fig. 16. Influence of expected surface peak ground acceleration (PGA) values on damage [4]

بیضی شدن تونل دایره‌ای در درجه اول ناشی از انتشار امواج لرزه‌ای در صفحات عمود بر محور تونل است. بیشتر این امواج برخی انتشار یافته عمودی هستند که اعوجاج بیضی شکل پوشش را ایجاد می‌کنند. همان‌گونه که در شکل (۵) نشان داده شده است، این اعوجاج‌های برخی تولید شده توسط زمین می‌توانند باعث تغییرشکل یک تونل مستطیل شکل (حرکت پهلو) شوند. همان طور که اشاره شد، وانگ یک روش تحلیل ساده قابل استفاده برای برآورد اولیه تغییرمکان ناشی از زلزله در تونل‌های دایره‌ای و مستطیلی شکل ارائه داد [11].

جدول ۱. خلاصه فرضیات و کاربرد راه حل های تحلیلی برای تجزیه و تحلیل تونل های تحت لرزش زمین (R : روش آن را پوشش نمی دهد / S: روش آن را پوشش می دهد). [8]

Section	Longitudeal											
	S	R	R	R	R	R	R	R	R	S	R	R
Cross-section	Transversal	S	S	S	S	S	S	S	S	R	S	S
	Rectangular	R	R	R	R	R	S	R	R	R	R	R
Soil-tunnel interface	Circular	S	S	S	S	S	R	S	S	S	S	S
	Full skin	S	S	S	S	S	S	S	S	S	S	S
Soil layering	Frictional skin	R	R	R	R	R	R	S	R	R	R	R
	No-skin	S	S	S	S	S	S	S	S	S	R	R
Soil type	Homogeneous	R	R	R	R	R	R	R	R	R	R	R
Tunnel lining	Saturated	R	R	R	R	S	R	R	R	R	R	R
	Dry	S	S	S	S	S	S	S	S	S	S	S
Solution	Plastic	R	R	R	R	R	R	R	R	R	R	R
	Elastic	S	S	S	S	S	S	S	S	S	S	S
	Plastic	R	R	R	R	R	R	R	R	R	R	R
	Elastic	S	S	S	S	S	S	S	S	S	S	S

Table 1. Summary of assumptions and applicability of analytical solutions for the analysis of tunnels under ground shaking (R - the method does not cover it / S - the method covers it.) [8]

#### ۴- روش های شبه استاتیکی

با توجه به حالت های تغییر شکل متمایز تونل ها و سطح بالقوه مربوط به آسیب ناشی از لرزش زمین در جهات طولی و عرضی، تجزیه و تحلیل لرزه ای تونل ها بیشتر با استفاده از روش های تجزیه و تحلیل های مختلف در دو جهت جدا بررسی می شود [57, 68, 69, 14, 16, 55].

در جهت عرضی، ساده کردن تجزیه و تحلیل با استفاده از یک روش استاتیک معادل کاملاً معمول است. به عنوان نمونه، برای تونل های مستطیلی می توان، همان گونه که اشاره شد، از روش پیشنهادی وانگ استفاده کرد که به معنی تجزیه و تحلیل ساده استاتیک قاب پوشش تونل است [14]. تغییر شکل لرزه ای تونل از تغییر شکل میدان آزاد در عمق تونل که در ضربی اثر برهم کش خاک و تونل، ضرب می شود. ضرب اثر برهم کنش خاک و تونل به نسبت نرمی مربوط می شود (شکل ۱۷). تغییر شکل لرزه ای تونل، به عنوان یک بار استاتیک معادل در بالای گوشه قاب یا به عنوان یک توزیع فشار مثلثی در دیواره های جانبی قاب، به قاب پوشش وارد می شود (شکل ۱۷).

شکل ۱۷. مدل های تجزیه و تحلیل قاب ساده: شکل سمت چت: نیروی متغیر،

شکل سمت راست: توزیع مثلثی [8]

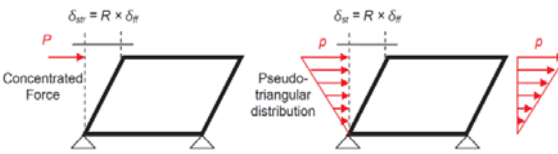
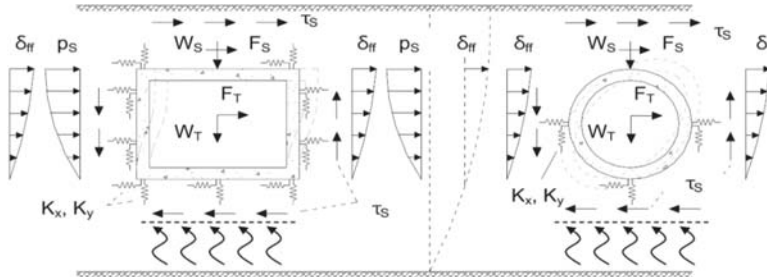


Fig. 17. Simplified frame analysis models, (Figure left) concentrated force, (Figure right) triangular distribution [8]

امکان مدل سازی تونل در جهت عرضی با استفاده از مدل قاب - فر نیز وجود دارد (شکل ۱۸). در این حالت، ساختار با المان های تیر مدل می شود در حالی که خاک از طریق فنرهای مناسب شبیه سازی می شود. بار لرزه ای معادل به ۳ روش معروفی می شود: (۱) بارهای استاتیکی معادل (ناشی از ساختار و جرم خاک روباره)، (۲) تنش های برشی لرزه ای در امتداد محیط ساختار و (۳) فشار زمین لرزه ای یا تغییر شکل زمین، که به دیوارهای جانبی سازه وارد می شود. اگرچه این روش به راحتی قابل استفاده است، اما دارای کاستی های بسیار مهمی است. تعریف و شبیه سازی فشارهای واقعی زمین لرزه ای و توزیع تنش های برشی در اطراف تونل برای تونل ها کار

راست)، مطابق با پاسخ زمین آزاد میدان معروفی می‌شود [70-72].



به طور کلی، پاسخ غیرخطی خاک در هنگام زلزله با استفاده از ویژگی‌های معادل خاک در چارچوب تقریب خطی محاسبه می‌شود. این رویکرد که از پایه یک تجزیه و تحلیل استاتیکی است که در مقایسه با تجزیه و تحلیل تاریخچه زمان، مقرن به صرفه است. با این وجود، مواردی وجود دارد که می‌تواند در این روش تأثیر بگذارد. از جمله: مدل‌سازی پاسخ غیرخطی خاک و انتخاب اندازه شبکه<sup>۱</sup> مناسب برای خاک. با توجه به نکته اول، روش‌های تجزیه و تحلیل استاتیک ساده نمی‌توانند تاریخچه بارگذاری خاک را در هنگام لرزش به اندازه کارآمدی تجزیه و تحلیل دینامیکی مدل کنند. این تاریخچه بارگیری به طور قابل توجهی بر واکنش تسلیم زمین اطراف تونل و پاسخ تونل تأثیر می‌گذارد. با توجه به نکته دوم، برای از بین بردن هرگونه آثار مرزی بالقوه، باید اندازه شبکه به درستی انتخاب شود [16, 72].

خاک کاملاً یک مسئله پیچیده است، زیرا در ادبیات فنی پیشنهادهای زیادی برای این نوع سازه‌ها ارائه نشده است [8].

برای جلوگیری از مشکلات مربوط به شبیه‌سازی زمین با استفاده از فنرها، روش‌های عددی که زمین اطراف را به عنوان یک محیط پیوسته تلقی می‌کنند، توسعه یافته‌اند. به عنوان نمونه در چارچوب تجزیه و تحلیل استاتیک معادل یا روش تغییر شکل ضریب لرزه‌ای شبیه‌سازی، خاک-تونل از طریق یک مدل عددی دو بعدی شبیه‌سازی می‌شود. بار لرزه‌ای، به عنوان یک نیروی جسم اینرسی معادل در کل مدل عددی، معروفی می‌شود (شکل ۱۹). مشخصات شتاب ممکن است از طریق تجزیه و تحلیل پاسخ یک بعدی خاک (خطی، خطی معادل یا غیر خطی) حاصل شود. بدینهای است که این روش برای هر دو تونل دایره‌ای و مستطیلی قابل استفاده است. به عنوان یک جایگزین برای این روش، بار لرزه‌ای معادل به عنوان الگوی تغییر شکل زمین در مرزهای مدل عددی (شکل ۱۹ سمت

شکل ۱۸. روش استاتیک معادل ساده برای تجزیه و تحلیل لرزه‌ای عرضی در تونل‌های مستطیل و دایره‌ای [8]

Fig. 18. Simplified equivalent static method for the transversal seismic analysis of rectangular and circular tunnels [8]

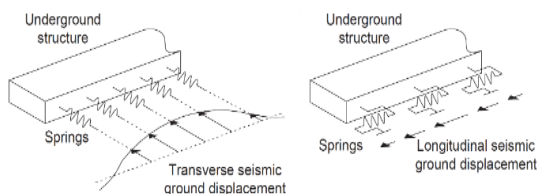


Fig. 20. Simplified equivalent static analysis method for tunnels: (Figure left) transversal analysis (Figure right) longitudinal analysis [8]

در روش‌های واکنش زیرزمینی، مدل‌سازی تونل به عنوان یک تیر روى فنرهای الاستیک برای تجزیه و تحلیل لرزه‌ای تونل‌ها در جهت طولی ارائه شده است. در این نوع تجزیه و تحلیل‌ها، به عنوان تجزیه و تحلیل‌های استاتیک معادل ساده یا تجزیه و تحلیل‌های دینامیکی

شکل ۱۹. تجزیه و تحلیل استاتیک معادل: شکل سمت چپ: بارهای اینرسی توزیع شده، شکل سمت راست: تغییر شکل زمین در مرزهای وارد می‌شود [8]

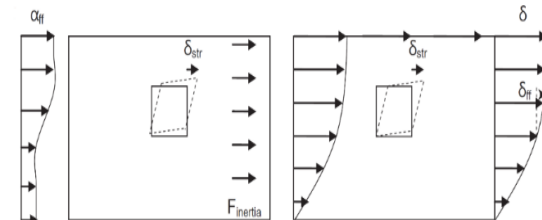


Fig. 19. Detailed equivalent static analysis: (Figure left) distributed inertial loads (Figure right) imposed ground distortions at the boundaries [8]

شکل ۲۰. روش تحلیل استاتیک معادل ساده برای تونل‌ها، شکل سمت چپ: تحلیل عرضی، شکل سمت راست: تحلیل طولی [8]

ساده ذکر شده است، بار لرزه‌ای، به عنوان تغییر شکل ثابت استاتیکی زمین که می‌تواند تغییرات مکانی حرکت زمین را محاسبه کند، به فرها اعمال می‌شود (شکل ۲۰). پارامتری که ممکن است به طور قابل توجهی روی پاسخ محاسبه شده تأثیر بگذارد، فاصله بین فرها است که به طول موج غالب و دامنه فرکانس مورد نظر بستگی دارد. مشابه تحلیل استاتیک معادل ساده، تحلیل دینامیکی ساده است. در این حالت، بارگذاری لرزه‌ای به عنوان تاریخچه زمان جایه‌جایی معرفی می‌شود که ممکن است تغییرات مکانی حرکت زمین لرزه‌ای را در برداشته باشد. این روش اجازه می‌دهد تا مدل‌سازی ویژگی‌های مکانیکی کارآمد پیچیده (به عنوان نمونه رفتار برهم کنش خاک-تونل، رفتار اتصالات و غیره) امکان پذیر شود. یک مسئله اساسی برای اجرای روش‌های فوق، برآوردهای عملکردی مقاومتی خاک (فرها و میراگرها) است [68].

روش‌های ساده برای طراحی لرزه‌ای تونل‌های طولانی معمولاً مورد استفاده قرار می‌گیرد. به راحتی می‌توان از آن‌ها برای بدست آوردن پاسخ کلی سازه تونل تحت بارگذاری لرزه‌ای استفاده کرد. دو مدل ساده، مدل جرم-فرن-تیر و مدل تیر-فرن و راه حل تحلیلی آن برای تجزیه و تحلیل لرزه‌ای تونل‌های طولانی توسط یو<sup>۱</sup> مورد بحث قرار گرفته است [73]. در مدل جرم-فرن-تیر، لایه سطحی خاک در امتداد محور تونل به تعدادی برش خاک تقسیم می‌شود. هر برش توسط یک سیستم معادل جرم-فرن نشان داده شده است که متشکل از یک جرم، یک فرن و یک میراگر است که جرم را به سنگ پایه متصل می‌کند. سپس توده‌های مجاور در امتداد محور تونل با فرها و میراگرها به یکدیگر متصل می‌شوند تا اتصال بین برش‌های خاک مجاور را شبیه‌سازی کنند. با حل معادله تعادل دینامیکی مدل، می‌توان جایه‌جایی‌های زمین در موقعیت توده‌های خاک و تونل را ارزیابی کرد (شکل ۲۱). در مدل تیر-فرن، تونل به عنوان یک تیر که تکیه گاه آن زمین است، توسط فرها خاک و میراگرها، که نشان دهنده برهم کنش خاک و سازه است، فرض می‌شود (شکل ۲۲).

در جدول (۲) خلاصه‌ای از دامنه کاربرد روش‌های شبه‌استاتیکی در بالا آمده است.

شکل ۲۱. مدل جرم-فتر-تیر برای میدان آزاد [73]

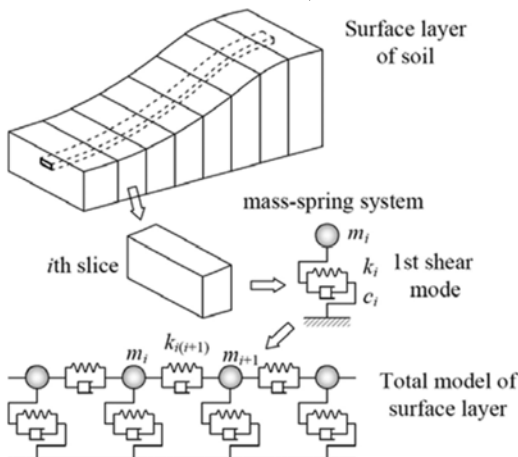


Fig. 21. Mass-spring model for free field [73]

شکل ۲۲. مدل تیر-فتر برای تجزیه و تحلیل لرزه‌ای طولی تونل‌های طولانی [73]

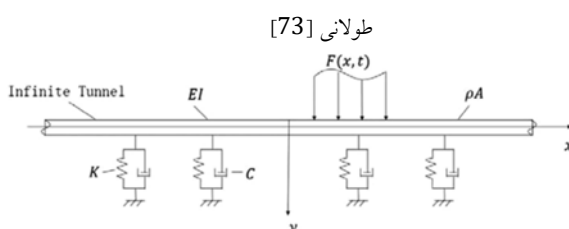


Fig. 22. Long lined tunnel on a viscoelastic foundation subjected to dynamic loads [73]

## ۵- تحلیل عددی دینامیکی

راه حل‌های تحلیلی و روش‌های ساده تجزیه و تحلیل برای اهداف اولیه طراحی بسیار مفید هستند. با این حال، برای پیش‌بینی دقیق‌تر، ممکن است به تجزیه و تحلیل کامل دینامیکی، با استفاده از مدل‌های عددی، نیاز باشد. تجزیه و تحلیل تاریخچه زمان دینامیکی همراه با مدل‌سازی خاک-تونل دقیق‌ترین روش برای تجزیه و تحلیل لرزه‌ای تونل‌ها است. تجزیه و تحلیل عددی می‌تواند ذاتاً جنبه‌های حرکتی و اینرسی اثر متقابل خاک و ساختار را توصیف کند. روش‌های عددی می‌توانند به اندازه کافی هندسه‌های پیچیده و ناهمگنی‌های خاک و همچنین آثار سایر ساختارهای موجود، که در منطقه قرار دارند، را شبیه‌سازی کنند. با استفاده از مدل رفتاری مناسب، می‌توان رفتار غیرخطی خاک و ساختار و برهمن کنش خاک و ساختار را مدل‌سازی کرد. بی‌گمان، روش‌های عددی دو بعدی یا سه بعدی، براساس روش اجزای محدود یا تفاضل محدود، بیشترین استفاده را برای محاسبات مربوط به سازه‌های مدفون شده در یک محیط پیوسته، یعنی خاک

جدول ۲. خلاصه فرضیات و کاربرد راه حل‌های شبه استاتیکی برای تجزیه و تحلیل تونل‌های تحت لرزش زمین (R: روش آن را پوشش نمی‌دهد / S: روش آن را پوشش می‌دهد).

	Longitudinal	Transversal	Rectangular	Circular	Layered	Homogeneous	Saturated	Dry	Plastic	Elastic	Plastic	Elastic	St. John (1984)	Wang (1993)	Hashash (2010)	Yu (2017)
Section	S	R	R	S												
Cross-section	R	S	S	S												
Soil layering					R	R	R	R	R	R	R	R				
Saturation conditions	S	S	S	S	S	S	S	S	R	R	R	R				
Soil type		S	S	S	S	S	S	S	R	R	R	R				
Tunnel lining									R	R	R	R				
Solution																

Table 2. Summary of assumptions and applicability of quasi-static solutions for the analysis of tunnels under ground shaking (R - the method does not cover it / S - the method covers it.)

وجود سازه‌های سطح زمین بر میدان موج برشی تأثیر می‌گذارد و منجر به افزایش نیروهای دینامیکی می‌شود. این اثر برای حالت کم عمق مشهودتر است. همچنین آثار در مورد نوع خاک<sup>۱</sup> به دلیل کاهش مقاومت در مقایسه با نوع خاک B<sup>۲</sup> قابل توجه‌تر است (طبقه بندی خاک براساس یوروکد<sup>۳</sup> است) [22].

انعطاف پذیری لایه خاک و ارتفاع ساختمان تأثیری در ترتیب مودهای لرزشی ندارد، اما با افزایش ارتفاع ساختمان و در نظر گرفتن انعطاف پذیری بستر، دوره‌های ارتعاشی طولانی‌تر شدن [84]. وجود ساختمان باعث کاهش نسبت تشدید<sup>۴</sup> در مقایسه با شرایط میدان آزاد می‌شود [85]. تجزیه و تحلیل سیستم ساختمانی تونل-خاک-سطح زمین تا بیشترین عمق تونل ۱۸ متر و بیشترین فاصله ساختمان ۲۰ متر ضروری است [86]. براساس نتایج، نیروهای محوری تونل، بین شرایط لغزش کامل و عدم لغزش متفاوت است. راه حل‌های تحلیلی برای شرایط بدون لغزش<sup>۵</sup> محافظه کارانه‌تر و نزدیک به نتایج عددی به دست آمده در شرایط بدون لغزش هستند [86]. برای بیشتر موارد بررسی شده، در نظر گرفتن سازه‌های زمینی منجر به افزایش پاسخ دینامیکی تونل از نظر تغییر شکل و نیروهای پوشش تونل، با اهمیت بیشتر برای تونل‌های کم عمق می‌شود. با توجه به تعداد زیادی از پارامترهای درگیر و عدم قطعیت‌های مرتبط، بسیار دشوار است که با یک مقدار دقیق، پاسخ را اصلاح کرد. با این حال، برای محافظه کارانه‌ترین نتایج این مطالعات، ممکن است نتیجه بگیریم که برای سازه‌های زیرزمینی، منجر به افزایش ۲۵٪ برای ممان خمی پوشش و ۳۰٪ برای نیروی محوری پوشش در مقایسه با شرایط میدان آزاد است [22].

چاو<sup>۶</sup> با استفاده از مورد مطالعاتی ریزش ایستگاه دایکای<sup>۷</sup>، افزایش ظرفیت لرزه‌ای سازه‌های زیرزمینی با استفاده از ستون‌های ایزوله لغزشی<sup>۸</sup>، که در میراگر بین تیر و ستون نصب می‌شود تا

و سنگ، دارند در حالی که روش المان گستته برای تجزیه و تحلیل محیط‌های ناپیوسته، یعنی سنگ شکسته، استفاده شده است. روش‌های جدید تجزیه و تحلیل، مانند مدل‌های چند مقیاسی المان محدود [73-75] و آمیختن المان محدود با المان مرزی [76] به تازگی مورد بررسی قرار گرفته است تا محاسبات را بهبود بخشد. بدیهی است که استفاده از مدل‌های مختلف خاک ممکن است منجر به پاسخ‌های متمایز پیش‌بینی شده عددی برای تونل‌های مورد بررسی شود [77, 78]. علاوه بر این، کتو [79] و سان [80]، اهمیت تنظیم منطقی میرایی خاک را در تجزیه و تحلیل عددی تونل‌های تحت لرزش زمین بر جسته کردند، در حالی که آندروتی [81] و کامپاس [82]، تأثیر رویکرد مدل‌سازی (خطی یا غیرخطی) پوشش تونل را در پاسخ پیش‌بینی شده بر جسته کردند. همچنین با ائو، به بررسی رفتار لرزه‌ای یک تونل مستطیل شکل در خاک روانگرا پرداخته است که براساس آن افزایش دامنه شتاب عمودی باعث افزایش سطح روان‌گرایی، تغییر شکل سطح زمین و بالارفتن ساختار تونل می‌شود، اما تأثیر کمی بر نیروی داخلی ساختار تونل دارد. [83].

تونل‌ها بیشتر با فرض شرایط میدان آزاد تحت بارگذاری لرزه‌ای طراحی می‌شوند. با این حال، در مناطق درون شهری این سازه‌ها از زیر ساختمان‌ها عبور می‌کنند که بیشتر بلند مرتبه هستند یا در نزدیکی آن‌ها واقع شده‌اند. در طول زمین لرزه، سازه‌های بالای زمین ممکن است آثار متقابل پیچیده‌ای با تونل ایجاد کنند و پاسخ لرزه‌ای آن را در مقایسه با شرایط میدان آزاد تغییر دهنند. از این رو به تازگی پژوهش‌هایی در این مورد صورت گرفته است. تجزیه و تحلیل‌ها نشان دادند که پارامترهایی که به طور قابل توجهی بر این پدیده تأثیر می‌گذارند عبارتند از: انعطاف پذیری نسبی خاک-تونل، ابعاد تونل، عمق دفن تونل و ویژگی‌های خاک و غیرخطی بودن در هنگام لرزش. پس از بررسی مشخص شد،

۵. فرض می‌شود که در هنگام وقوع یک رویداد لرزه‌ای، هیچ لغزشی در طول رابط بین خاک و پوشش رخ نمی‌دهد.

۱. رسوبات ماسه متراکم یا متوسط، شن یا خاک رس سفت

۲. رسوبات ماسه، شن یا خاک رس پسیار سفت

6. Chao

3. Eurocode 8

7. Daikai Station

4. Amplification ratio

8. Sliding Isolation Bearing:

پوشش برای حالت موج S بسیار ناچیز است [91]. یو<sup>۱۰</sup> با یک مدل سه بعدی از تونل لانگسی<sup>۱۱</sup>، پیش‌بینی‌های عددی و خسارت گزارش شده از زلزله ۲۰۰۸ ونچوان در چین را مقایسه کرده است [92]. همچنین چن<sup>۱۲</sup> به بررسی تأثیر عمق بر آسیب لرزه‌ای تونل‌ها پرداخته است [93]. آموروسی<sup>۱۳</sup> مجموعه‌ای از تجزیه و تحلیل‌ها با هدف مطالعه پاسخ عرضی لرزه‌ای یک تونل کم عمق در دو نوع خاک رس متفاوت ارائه داد [94]. سینیدیس پاسخ لرزه‌ای تونل‌های دایره‌ای را در شن و ماسه خشک بحث و کارایی روش‌های تجزیه و تحلیل لرزه‌ای فعلی را در انعطاف‌پذیری پوشش بررسی کرده است. طبق نتایج آن، شرایط برهم کنش خاک و تونل به طور قابل توجهی بر عملکرد خاک در اطراف تونل و همچنین روی نیروهای محوری دینامیکی تأثیر می‌گذارد. این اثر برای ممانهای خشمی دینامیکی پوشش ناچیز بوده است [78]. سان<sup>۱۴</sup> اثر یک لایه خاک نرم در پاسخ لرزه‌ای سایت و رفتار لرزه‌ای تونل برجسته کرده است که لایه خاک نرم تمایل داشت دامنه شتاب طیفی را در دوره‌های طولانی تقویت کند در حالی که پاسخ را در دوره کوتاه مدت کاهش می‌داد [95]. حلیه<sup>۱۵</sup> به منظور بررسی واکنش خاک و تونل تحت بارگذاری لرزه‌ای، یک شبیه‌سازی عددی از یک تونل تعییه شده در شن و ماسه متراکم ارائه کرده است [96]. آرگیروdis<sup>۱۶</sup> یک روش عددی برای ساخت منحنی شکنندگی برای تونل‌های کم عمق در رسوب‌های آبرفتی، که تحت بارگذاری لرزه‌ای عرضی قرار می‌گیرد، ارائه کرده است [97].

پاسخ‌های لرزه‌های سازه‌های زیرزمینی را تضعیف کند، بررسی کرده است که تحلیل عددی مدل‌سازی نشان می‌دهد که وسیله موثری برای بهبود ظرفیت لرزه‌ای سازه‌های زیرزمینی است چون باعث کاهش تغییر شکل دیواره‌های جانبی می‌شود. [87]. سالمی برای اطمینان از پایداری طولانی مدت سازه‌های زیرسطحی در مناطق آبرفتی و شهری و کمریند لرزه‌ای، تحلیل دینامیکی و طراحی لرزه‌ای سازه‌ها با استفاده از الگوریتم ژنتیک<sup>۱</sup> بر اساس نیروی محوری، گشتاور خمشی و نیروی برشی برای دو نوع بار لرزه‌ای انجام داده است که نتایج حاکی از توانایی این روش در طبقه بندی قطعات پوشش در طول بارهای استاتیک و دینامیکی را دارد [88]. هوانگ<sup>۲</sup> واکنش لرزه‌ای و حساسیت به خسارت تونل‌ها در زلزله با بیشترین شتاب<sup>۳</sup>، سرعت<sup>۴</sup> و جابه‌جایی مختلف زمین<sup>۵</sup> را بررسی کرده است و نشان داده است نسبت به PGV و PGD، PGA تأثیر کمی در پاسخ لرزه‌ای تونل دارد [89]. سینیدیس<sup>۶</sup> به شبیه‌سازی عددی آزمایش رود رایین<sup>۷</sup> روی تونل‌ها و مقایسه پیش‌بینی‌های عددی با داده‌های تجربی ارائه داده است که با توجه به انواع عدم قطعیت‌های موجود، مدل‌های عددی ممکن است پاسخ ثبت شده در سانتریفیوژ را کاملاً راضی کننده، ایجاد کنند [90]. سیلینگیر<sup>۸</sup> روی تأثیر ویژگی‌های حرکت ورودی بر رفتار لرزه‌ای تونل‌های دایره‌ای و مربعی متصرک شده است [34]. کورتنیس<sup>۹</sup> اثر خواص برهم کنش پوشش داخلی بر نیروی داخلی در پوشش یک تونل دایره‌ای، برای انتشار موج P و S را به صورت عددی بررسی کرده است که براساس آن هنگامی که بارهای توده خاک اطراف، توسط پوشش تونل تکیه گاه موقت تحمل می‌شود، اثر اصطکاک روی پاسخ ساختاری

- 8. Cilingir
- 9. Kouretzis
- 10. Yu
- 11. Longxi tunnel
- 12. Chen
- 13. Amorosi
- 14. Sun
- 15. Hleibieh
- 16. Argyroudis

مجموعه‌ای از المان‌های سازه‌ای هستند که یک روبنا را از زیربنای آن که بر روی زمین تحت زمین لرزه قرار دارد، جدا کرده و از این طریق از یکپارچگی ساختاری ساختمان محافظت می‌کنند.

- 1. Genetic Algorithm
- 2. Huang
- 3. Peak Ground Acceleration (PGA)
- 4. Peak Ground Velocity (PGV)
- 5. Peak Ground Displacement (PGD)
- 6. Tsinidis
- 7. Round Robin test

## ۶- مدل‌سازی ناهمگنی

محوری را تا ۲۳۰٪ بزرگ‌تر کنند. از آنجا که رفتار دینامیکی رس و اثر متناظر لرزه‌ای و سازه پیچیده است، عملکرد توپل‌های مستطیل شکل نصب شده در رس‌های نرم هنوز کاملاً درک نشده است. ژانگ<sup>3</sup> عملکرد یک توپل مستطیل شکل که تحت یک حرکت زمینی میدان دور قرار دارد، به صورت عددی با استفاده از روش المان محدود همراه با میدان‌های تصادفی بررسی کرده است. در این پژوهش مدول کرنش برشی رس به عنوان یک میدان تصادفی در نظر گرفته شد. نتایج تجزیه و تحلیل نشان می‌دهد که مدول کرنش برشی تصادفی می‌تواند به طور قابل توجهی روی پاسخ‌های لرزه‌ای ممان خمی، نیروی برشی و تغییر شکل جانی دیواره‌های توپل مستطیل شکل در درجات مختلف تأثیر بگذارد. اثر تصادفی بودن در بیشترین مدول برشی خاک روی پاسخ لرزه‌ای توپل را می‌توان با معرفی یک ضریب ایمنی که با احتمال خرابی هماهنگی دارد، محاسبه کرد. به همین ترتیب، در مرحله طراحی می‌توان به طور قابل توجهی از زمان و تجزیه و تحلیل تصادفی دینامیکی جلوگیری کرد. [100].

در جدول (۳) خلاصه‌ای از مطالعات ذکر شده، آمده است.

## ۷- نتیجه‌گیری

با وجود تلاش و پیشرفت قابل توجهی که تا به امروز در درک و پیش‌بینی رفتار لرزه‌ای توپل‌ها صورت گرفته، هنوز کار بیشتری لازم است. به طور خاص، پاسخ توپل‌ها به خرابی‌های زمینی ناشی از زلزله به طور کامل بررسی نشده است. بیشتر کارهای انجام شده روی پاسخ زمین لرزه‌ای عرضی توپل‌ها با فرض شرایط کرنش مسطح و یا بررسی سطح مقطع توپل با ورودی لرزه‌ای به شکل امواج S بوده است. به نظر می‌رسد این روش می‌تواند نیروهای لرزه‌ای تحت بارگذاری عرضی را به خوبی پیش‌بینی کند [77]، اما همان‌طور که در آزمایش‌های میز لرزش نشان داده شده است [101-103]، بارهای ناهمزمان می‌تواند پاسخ توپل را به طور قابل توجهی تغییر دهد.

تاکنون روش‌هایی که برای تجزیه و تحلیل پایداری توپل پیشنهاد شده بود، به عنوان نمونه، روش‌های تحلیلی، روش‌های تجربی، روش‌های شبه‌استاتیکی و روش‌های عددی، بررسی شدند. با این حال در میان آن‌ها، یک محدودیت مشترکی وجود دارد که راه حل‌های پیش‌بینی شده با این فرض بدست می‌آیند که پارامترهای خاک مقادیر معین هستند، این بدان معنی است که از تنوع ویژگی‌های خاک چشم پوشی می‌شود. روش‌های تجزیه و تحلیل قابلیت اطمینان، با استفاده از تنوع مکانی ویژگی‌های خاک، راه حل منطقی‌تری نسبت به روش‌های قطعی ارائه می‌دهند.

پارک<sup>1</sup> پاسخ توپل تحت حرکت زمین با تغییر سه بعدی ویژگی‌های خاک مدل‌سازی کرد. نتایج تجزیه و تحلیل نشان داد که زمین لرزه با درنظر گرفتن ناهمگنی زمین، باعث خم شدن طولی توپل و ایجاد تشنج محوری قابل توجهی در پوشش توپل می‌شود. این اثر می‌تواند در مرزی که در آن خواص زمین در جهت طولی تغییر می‌کند، قابل توجه باشد [62]. برای ارزیابی تحلیلی آثار ناهمگنی جانبی خاک، به ویژه نوسانات تصادفی فرکانس غالب لایه خاک، لایب<sup>2</sup> یک مدل احتمالی پیشنهاد داد. کاربرد این روش به سایت‌هایی محدود می‌شود که می‌توانند توسط لایه‌های خاک افقی نشان داده شوند. براساس این روش هرچه ناهمگنی خاک بیشتر باشد، جابه‌جایی‌های دینامیکی و نیروهای برشی بزرگ‌تر هستند. همچنین نتایج نشان دادند که آثار ناهمگنی خاک باعث کاهش مقادیر عملکرد چسبندگی کل می‌شود [98].

چن<sup>3</sup> نقش اساسی تأثیر ویژگی‌های تصادفی خاک و اثر عبور موج را بر عملکرد لرزه‌ای توپل بررسی کرده است [99]. با توجه به نتایج تجزیه و تحلیل میدان آزاد مشخص شد که اثر عبور موج می‌تواند بیشترین شتاب زمین را کاهش دهد و باعث تاخیر زمانی در ورود موج شود، اما خواص تصادفی خاک بیشترین شتاب زمین را به شدت بزرگ می‌کند. همچنین خواص تصادفی خاک ممان‌های خمی را کمی تغییر می‌دهد، اما می‌تواند نیروهای

3. Chen

4. Zhang

1. Park

2. Laib

جدول ۳. خلاصه مطالعات و فرضیات مدلسازی ناهمنگی پروفیل خاک به منظور بررسی آثار زلزله بر سازه تونل (R : روش آن را پوشش نمی‌دهد / S : روش آن را پوشش می‌دهد / ۱: مدل زمینه تصادفی گوسی نرمال / ۲: مدل زمینه تصادفی گوسی لگاریتم نرمال)

Researcher	Park (2009)	Laib (2015)	Chen (2017)	Zhang (2020)	
Solution	Analytical numerical	R	S	R	R
Model	2D	R	S	S	S
Cross-section	Circular	R	S	S	S
Random soil parameters	Dynamic	Shear modulus	R	R	R
Stochastic model of ground motion	Static	Elastic modulus	R	S	S
Heterogeneity method			R	1	1
Output results				2	
					Fragility curve
					R R R R
					Resonant frequency
					R S R R
					Racking deflection frequency
					S R S S
					Shear force Moment /
					S R S S

رویکردهای سه بعدی، با استفاده از مدل‌های تیر و فنر، می‌توانند برای بررسی حرکت زمین در امتداد محور طولی تونل‌ها استفاده شوند [62]. با این حال، چنین روش‌هایی در حال حاضر بر اساس رفتار کشش خطی زمین است و برای رفتار غیر خطی، می‌توان با تجزیه و تحلیل‌های المان محدود، شبیه‌سازی کرد و آنالیزهای غیرخطی کاملاً سه بعدی را انجام داد [79, 104]. بهبود مداوم در مدل‌سازی پاسخ ساختاری تونل نیز مورد نیاز است. بیشتر روش‌ها به روش‌های کشش خطی معادل متکی هستند که شناسایی صحیح سختی نسبی ساختار خاک مهم است [78, 105]. در حالی که مدل‌سازی دقیق می‌تواند به جزئیات لرزه‌ای و طراحی انعطاف‌پذیر تونل‌های جدید کمک کند، اما یک مشکل مهم مربوط به رفتار تونل‌های قدیمی فراتر از عمر طراحی اولیه آن‌ها است، که قرار گرفتن در معرض خطرات لرزه‌ای افزایش می‌یابد و تکیه‌گاه آن‌ها ممکن است به طور قابل توجهی پیش یا تخریب شده باشد. برای چنین مشکلاتی، مقاومت نسبی نیز برای درک آسیب ساختاری تونل [82, 106] و تولید منحنی‌های شکنندگی مناسب [107] نیز مهم است.

پژوهش‌های جدید با استفاده از مدل‌های الاستیک خاک معادل [9, 85] یا مدل‌های الاستو پلاستیک [22] بوده است. این مطالعات روی آثار سازه‌های سطحی بر پاسخ تونل متمرکز است. از آن‌جا که بسیار نادر است که سازه‌های ساخته شده در شرایط زمین سبز ساخته شوند، آثار متقابل دینامیکی بین تونل‌ها و ساختمان‌های مجاور یک موضوع تحقیقاتی مهم است که خواستار تحقیقات بیشتر است.

از آن‌جا که تونل‌ها در خاک‌های ناهمنگ حفر می‌شوند، برای بررسی ناهمنگی خاک، مدل‌های تصادفی ارائه شدند [98, 108-110] و تحقیقاتی نیز برای درک اثر ناهمنگی خاک بر موج عبوری [99] و تغییرشکل سطح [111] نیز انجام شده است، که آثار ترکیبی خصوصیات تصادفی خاک و اثر عبور موج چشمگیر است و برای ایمنی لرزه‌ای تونل‌ها بهتر است اثر ناهمنگی لحاظ شود.

در ارتباط با چشم‌انداز تحقیقات آتی می‌توان به مطالعات موردنی بیشتری از تونل‌ها تحت بار لرزه‌ای برای درک بهتری از

تنش های برشی لرزه ای در اطراف محیط تونل (Nm <sup>-2</sup> )	$\tau_s$	رفتار تونل ها در هنگام زلزله، بررسی های عددی و آزمایشگاهی نقش ناهمگنی خاک و تاثیر متقابل آن بر پاسخ تونل تحت لرزش، اثر ویژگی های حرکت زمین لرزه مانند فرکانس، مدت زمان زلزله و امواج سطحی، اثر تجمعی زلزله روی تونل ها و بهبود مدل های فیزیکی موجود برای نزدیک شدن به پاسخ واقعی تونل تحت زلزله اشاره کرد.
وزن خاک سرباره (N)	$W_s$	
نیروهای اینرسی خاک سرباره (N)	$F_s$	
وزن تونل (N)	$W_T$	
نیروهای اینرسی تونل (N)	$F_T$	
فراز های عمودی خاک در امتداد محیط پوشش تونل (Nm <sup>-1</sup> )	$K_x$	
فراز های برشی خاک در امتداد محیط پوشش تونل (Nm <sup>-1</sup> )	$K_y$	کرنش برشی میدان آزاد (kgm <sup>-3</sup> ) $\gamma_{ff}$
شتاب زمین در میدان آزاد (ms <sup>-2</sup> )	$a_{ff}$	تنش برشی میدان آزاد (kNm <sup>-2</sup> ) $\tau_{ff}$
نیروی اینرسی شتاب زمین (N)	$F_{inertia}$	مدول برشی خاک (kNm <sup>-2</sup> ) $G$
		کرنش برشی حفره بدون اعمال توزیع تنش برشی در اطراف حفره (kgm <sup>-3</sup> ) $\gamma_c$
		سختی دال های بالا و پایین تونل (kNm <sup>2</sup> m <sup>-1</sup> ) $E_s I_s$
		تغییر شکل سازه تونل (m) $\Delta_{stru.}$
		تغییر شکل میدان آزاد تونل (m) $\Delta_{ff}$
		بیشترین سرعت ذرات موج S در عمق تونل (ms <sup>-1</sup> ) $V_s$
		سرعت موج برشی موثر در زمین اطراف تونل (ms <sup>-1</sup> ) $C_{se}$
		نسبت پوآسون زمین اطراف تونل $v_m$
		قطر تونل (m) $D$
		نسبت نرمی $F$
		مدول الاستیک سازگار با کرنش زمین اطراف تونل (kNm <sup>-2</sup> ) $E_m$
		شعاع اسمی پوشش تونل (m) $R_l$
		نسبت پوآسون پوشش تونل $v_l$
		ممان اینرسی پوشش در واحد عرض تونل (m <sup>4</sup> m <sup>-1</sup> ) $I_{l,1}$
		ضریب $k_1$
		ارتفاع ساختار (m) $H$
		عرض ساختار (m) $L$
		سختی ساختار (Nm <sup>-1</sup> ) $k_s$
		متوسط مدول برش سازگار با کرنش زمین اطراف تونل (kNm <sup>-2</sup> ) $G_m$
		نسبت نرمی در تونل های مستطیلی $F_{rec}$
		ضریب اثر برهم کش خاک و تونل $R$
		بار نقطه ای استاتیکی معادل (N) $P$
		بار فشار مثلثی استاتیکی معادل (N) $p$
		فشارهای زمین لرزه ای روی دیواره های جانبی سازه (Nm <sup>-2</sup> ) $p_s$
		مستطیل شکل (Nm <sup>-2</sup> ) $p_s$

## ۹- مراجع

- [1] Dowding, C.H. and A.J.A.J.G.E.D. Rozan, Damage to rock tunnels from earthquake shaking. ASCE J Geotech Eng Div, 1978. 104(2): p. 175-191.
- [2] Yoshikawa, K., G.J.A.i.t.t. Fukuchi, and s. use, Earthquake damage to railway tunnels in Japan. Advances in tunnelling technology subsurface use, 1984. 4(3): p. 75-83.
- [3] Owen, G.N. and R.E. Scholl, Earthquake engineering of large underground structures. 1981.
- [4] Sharma, S. and W.R.J.E.g. Judd, Underground opening damage from earthquakes. Engineering geology, 1991. 30(3-4): p. 263-276.
- [5] Power, M., et al., Summary and evaluation of procedures for the seismic design of tunnels. Final report for task, 1998.
- [6] Hashash, Y.M., et al., Seismic design and analysis of underground structures. Tunnelling underground space technology, 2001. 16(4): p. 247-293.

- [19] Tsinidis, G., K.J.S.D. Pitilakis, and E. Engineering, Improved RF relations for the transversal seismic analysis of rectangular tunnels. *Soil Dynamics Earthquake Engineering*, 2018. 107: p. 48-65.
- [20] Patil, M., et al., Behavior of shallow tunnel in soft soil under seismic conditions. *Tunnelling Underground Space Technology*, 2018. 82: p. 30-38.
- [21] Kutter, B.L., J.-C. Chou, and T. Travasarou, Centrifuge testing of the seismic performance of a submerged cut-and-cover tunnel in liquefiable soil, in *Geotechnical Earthquake Engineering and Soil Dynamics IV*. 2008. p. 1-29.
- [22] Pitilakis, K., et al., Seismic behaviour of circular tunnels accounting for above ground structures interaction effects. *Soil Dynamics Earthquake Engineering*, 2014. 67: p. 1-15.
- [23] Chian, S., S.J.S.D. Madabhushi, and E. Engineering, Effect of buried depth and diameter on uplift of underground structures in liquefied soils. *Soil Dynamics Earthquake Engineering*, 2012. 41: p. 181-190.
- [24] Onoue, A., H. Kazama, and H. Hotta. Seismic response of a stacked-drift-type tunnel in dry sand. in *Centrifuge 98*. 1998.
- [25] Yamada, T., et al. Centrifuge model tests on circular and rectangular tunnels subjected to large earthquake-induced deformation. in *Geotechnical aspects of underground construction in soft ground*. 2002.
- [26] Ito, Y. and K.J.G.R.L. Obara, Very low frequency earthquakes within accretionary prisms are very low stress-drop earthquakes. *Geophysical Research Letters*, 2006. 33(9).
- [27] Shibayama, S., et al., Observed behaviour of a tunnel in sand subjected to shear deformation in a centrifuge. *Soils Foundations*, 2010. 50(2): p. 281-294.
- [28] Tohda, J., et al., Centrifuge model tests on the dynamic response of sewer trunk culverts: J. Tohda H. Yoshimura, in *Physical Modelling in Geotechnics*, Two Volume Set. 2010, CRC Press. p. 677-682.
- [29] Gillis, K., et al. Seismic response of a cut-and-cover underground structure in dry sand: centrifuge modeling. in 8th International Conference on Physical Modelling in Geotechnics, ICPMG 2014. 2014.
- [30] Abuhajar, O., et al., Experimental and numerical investigations of the effect of buried box culverts on earthquake excitation. *Soil*
- [7] Kontoe, S., et al., Case study on seismic tunnel response. *Canadian Geotechnical Journal*, 2008. 45(12): p. 1743-1764.
- [8] Tsinidis, G., et al., Seismic behaviour of tunnels: From experiments to analysis. *Tunnelling Underground Space Technology*, 2020. 99: p. 103334.
- [9] Wang, Z., Z.J.S.D. Zhang, and E. Engineering, Seismic damage classification and risk assessment of mountain tunnels with a validation for the 2008 Wenchuan earthquake. *Soil Dynamics Earthquake Engineering*, 2013. 45: p. 45-55.
- [10] Zhang, X., et al., Seismic damage assessment of mountain tunnel: A case study on the Tawarayama tunnel due to the 2016 Kumamoto Earthquake. *Tunnelling underground space technology*, 2018. 71: p. 138-148.
- [11] Wang, J.-N. and G. Munfakh, Seismic design of tunnels. Vol. 57. 2001: WIT Press.
- [12] Power, M., D. Rosidi, and J.J.N.C.f.E.E.R. Kaneshiro, Buffalo, New York, Vol. III Strawman: screening, evaluation, and retrofit design of tunnels. Report Draft. National Center for Earthquake Engineering Research, Buffalo, New York, 1996.
- [13] Institute, N.H., et al., Technical manual for design and construction of road tunnels--civil elements. 2010: AASHTO.
- [14] Wang, J.J.P., Brinckerhoff, Quade and N.Y. Douglas Inc, Seismic design of tunnels: a state-of-the-art approach, monograph, monograph 7. Parsons, Brinckerhoff, Quade Douglas Inc, New York, 1993.
- [15] Chen, J. and X.J.I.T.o.S.p. Huo, Theoretical results on sparse representations of multiple-measurement vectors. *IEEE Transactions on Signal processing*, 2006. 54(12): p. 4634-4643.
- [16] Pitilakis, K. and G. Tsinidis, Performance and seismic design of underground structures, in *Earthquake geotechnical engineering design*. 2014, Springer. p. 279-340.
- [17] Asheghabadi, M.S. and X.J.A.S. Cheng, Analysis of Undrained Seismic Behavior of Shallow Tunnels in Soft Clay Using Nonlinear Kinematic Hardening Model. *Applied Sciences*, 2020. 10(8): p. 2834.
- [18] Golshani, A., M.J.G. Rezaeibadashiani, and G. Engineering, A Numerical Study on Parameters Affecting Seismic Behavior of Cut and Cover Tunnel. *Geotechnical Geological Engineering*, 2020. 38(2): p. 2039-2060.

- [42] Chen, Z., et al., Dynamic centrifuge tests on effects of isolation layer and cross-section dimensions on shield tunnels. *Soil Dynamics Earthquake Engineering*, 2018. 109: p. 173-187.
- [43] Xu, H., et al., Shaking table tests on seismic measures of a model mountain tunnel. *Tunnelling Underground Space Technology*, 2016. 60: p. 197-209.
- [44] Chen, J., et al., Shaking table test of utility tunnel under non-uniform earthquake wave excitation. *Soil Dynamics Earthquake Engineering*, 2010. 30(11): p. 1400-1416.
- [45] Jiang, L., et al., Seismic response of underground utility tunnels: shaking table testing and FEM analysis. *Earthquake engineering and engineering vibration*, 2010. 9(4): p. 555-567.
- [46] Xin, C., et al., Shaking table tests on seismic behavior of polypropylene fiber reinforced concrete tunnel lining. *Tunnelling Underground Space Technology*, 2019. 88: p. 1-15.
- [47] Ohtomo, K., et al., Research on Streamlining Seismic Safety Evaluation of Underground Reinforced Concrete Duct-Type Structures in Nuclear Power Stations.-Part-2. Experimental Aspects of Laminar Shear Sand Box Excitation Tests with Embedded RC Models. 2001.
- [48] Chen, J., et al., Numerical simulation of shaking table test on utility tunnel under non-uniform earthquake excitation. *Tunnelling underground space technology*, 2012. 30: p. 205-216.
- [49] Zou, Y., et al., A pseudo-static method for seismic responses of underground frame structures subjected to increasing excitations. *Tunnelling Underground Space Technology*, 2017. 65: p. 106-120.
- [50] Sun, T., et al., Model test study on the dynamic response of the portal section of two parallel tunnels in a seismically active area. *Tunnelling Underground Space Technology*, 2011. 26(2): p. 391-397.
- [51] Wang, G., et al., Experimental study on seismic response of underground tunnel-soil-surface structure interaction system. *Tunnelling Underground Space Technology*, 2018. 76: p. 145-159.
- [52] Kiyomiya, O.J.T. and U.S. Technology, Earthquake-resistant design features of immersed tunnels in Japan. *Tunnelling Dynamics Earthquake Engineering*, 2015. 79: p. 130-148.
- [31] Yang, D., et al., Numerical model verification and calibration of George Massey Tunnel using centrifuge models. *Canadian geotechnical journal*, 2004. 41(5): p. 921-942.
- [32] Cao, J. and M. Huang. Centrifuge tests on the seismic behavior of a tunnel. in *Proceedings of 7th international conference on physical modelling in geotechnics*, ICPMG. 2010.
- [33] Chen, Z., H.J.T. Shen, and U.S. Technology, Dynamic centrifuge tests on isolation mechanism of tunnels subjected to seismic shaking. *Tunnelling Underground Space Technology*, 2014. 42: p. 67-77.
- [34] Cilingir, U., S.G.J.S.D. Madabhushi, and E. Engineering, A model study on the effects of input motion on the seismic behaviour of tunnels. *Soil Dynamics Earthquake Engineering*, 2011. 31(3): p. 452-462.
- [35] Tsinidis, G., et al., Physical modeling for the evaluation of the seismic behavior of square tunnels, in *Seismic evaluation and rehabilitation of structures*. 2014, Springer. p. 389-406.
- [36] Tsinidis, G., et al., Centrifuge modelling of the dynamic behavior of square tunnels in sand, in *Experimental Research in Earthquake Engineering*. 2015, Springer. p. 509-523.
- [37] Tsinidis, G., et al., Dynamic response of shallow rectangular tunnels in sand by centrifuge testing, in *Experimental Research in Earthquake Engineering*. 2015, Springer. p. 493-507.
- [38] Tsinidis, G., K. Pitilakis, and G.J.E.S. Madabhushi, On the dynamic response of square tunnels in sand. *Engineering Structures*, 2016. 125: p. 419-437.
- [39] Tsinidis, G., et al., Seismic response of box-type tunnels in soft soil: experimental and numerical investigation. *Tunnelling Underground Space Technology*, 2016. 59: p. 199-214.
- [40] Hashash, Y.M., et al., Influence of tall buildings on seismic response of shallow underground structures. *Journal of Geotechnical Geoenvironmental Engineering*, 2018. 144(12): p. 04018097.
- [41] Adalier, K., et al., Centrifuge modelling for seismic retrofit design of an immersed tube tunnel. *International journal of physical modelling in geotechnics*, 2003. 3(2): p. 23-35.

- [64] Kouretzis, G.P., et al., Seismic verification of long cylindrical underground structures considering Rayleigh wave effects. *Tunnelling underground space technology*, 2011. 26(6): p. 789-794.
- [65] Kouretzis, G.P., et al., Analysis of circular tunnels due to seismic P-wave propagation, with emphasis on unreinforced concrete liners. *Computers Geotechnics*, 2014. 55: p. 187-194.
- [66] Kontoe, S., et al., Numerical validation of analytical solutions and their use for equivalent-linear seismic analysis of circular tunnels. *Soil Dynamics Earthquake Engineering*, 2014. 66: p. 206-219.
- [67] Rashiddel, A., et al., *Numerical investigation of closed-form solutions for seismic design of a circular tunnel lining by quasi-static method*. *Civil Engineering Journal*, 2018. 4(1): p. 239.
- [68] St John, C., T.J.A.i.t.t. Zahrah, and s. use, Seismic design considerations for underground structures. *Advances in tunnelling technology and subsurface use*, 1984. 4(3): p. 105-112.
- [69] Kawashima, K. Seismic design of underground structures in soft ground: a review. in *Geotechnical aspects of underground construction on soft ground*. 2000.
- [70] Gil, L., et al., Simplified transverse seismic analysis of buried structures. *Soil dynamics earthquake engineering*, 2001. 21(8): p. 735-740.
- [71] Tateishi, A.J.S.E.E., A study on seismic analysis methods in the cross section of underground structures using static finite element method. *Structural Engineering/Earthquake Engineering*, 2005. 22(1): p. 41s-54s.
- [72] Hashash, Y.M., et al. Seismic design considerations for underground box structures. in *Earth Retention Conference 3*. 2010.
- [73] Yu, H., Y. Yuan, and A.J.U.S. Bobet, Seismic analysis of long tunnels: a review of simplified and unified methods. *Underground Space*, 2017. 2(2): p. 73-87.
- [74] Ding, J.-H., et al., Numerical simulation for large-scale seismic response analysis of immersed tunnel. *Engineering Structures*, 2006. 28(10): p. 1367-1377.
- [75] Yu, H., et al., Seismic analysis of a long tunnel based on multi-scale method. *Engineering Structures*, 2013. 49: p. 572-587.
- Underground Space Technology, 1995. 10(4): p. 463-475.
- [53] Jin, Y., et al., Experimental investigation of the nonlinear behavior of segmental joints in a water-conveyance tunnel. *Tunnelling Underground Space Technology*, 2017. 68: p. 153-166.
- [54] Yu, H., et al., Seismic mitigation for immersion joints: Design and validation. *Tunnelling Underground Space Technology*, 2017. 67: p. 39-51.
- [55] St John, C., T.J.T. Zahrah, and u.s. technology, Aseismic design of underground structures. *Tunnelling underground space technology*, 1987. 2(2): p. 165-197.
- [56] Newmark, N.M. Problem in wave propagation in soil and rock. in *Proceedings of Int. Symp. Wave Propagation and Dynamic Properties of Earth Materials*. 1968. Univ. New Mexico Press.
- [57] Penzien, J.J.E.E. and S. Dynamics, Seismically induced racking of tunnel linings. *Earthquake Engineering Structural Dynamics*, 2000. 29(5): p. 683-691.
- [58] Huo, H., et al., Analytical solution for deep rectangular structures subjected to far-field shear stresses. *Tunnelling underground space technology*, 2006. 21(6): p. 613-625.
- [59] Bobet, A., et al., A practical iterative procedure to estimate seismic-induced deformations of shallow rectangular structures. *Canadian Geotechnical Journal*, 2008. 45(7): p. 923-938.
- [60] Bobet, A.J.T. and U.S. Technology, Effect of pore water pressure on tunnel support during static and seismic loading. *Tunnelling Underground Space Technology*, 2003. 18(4): p. 377-393.
- [61] Bobet, A.J.T. and U.S. Technology, Drained and undrained response of deep tunnels subjected to far-field shear loading. *Tunnelling Underground Space Technology*, 2010. 25(1): p. 21-31.
- [62] Park, D., et al., Simulation of tunnel response under spatially varying ground motion. *Soil Dynamics Earthquake Engineering*, 2009. 29(11-12): p. 1417-1424.
- [63] Kouretzis, G.P., et al., 3-D shell analysis of cylindrical underground structures under seismic shear (S) wave action. *Soil Dynamics Earthquake Engineering*, 2006. 26(10): p. 909-921.

- coupled tunnel–soil–aboveground building systems by numerical modelling. *Bulletin of Earthquake Engineering*, 2017. 15(1): p. 443-467.
- [87] Ma, C., et al., Seismic performance upgrading for underground structures by introducing sliding isolation bearings. *Tunnelling Underground Space Technology*, 2018. 74: p. 1-9.
- [88] Salemi, A., R. Mikaeil, and S.S.J.K.J.o.C.E. Haghshenas, Integration of finite difference method and genetic algorithm to seismic analysis of circular shallow tunnels (Case study: Tabriz urban railway tunnels). *KSCE Journal of Civil Engineering*, 2018. 22(5): p. 1978-1990.
- [89] Huang, J., et al., Effect of peak ground parameters on the nonlinear seismic response of long lined tunnels. *Tunnelling Underground Space Technology*, 2020. 95: p. 103175.
- [90] Tsinidis, G., K. Pitilakis, and A.D.J.A.G. Trikalioti, Numerical simulation of round robin numerical test on tunnels using a simplified kinematic hardening model. *Acta Geotechnica*, 2014. 9(4): p. 641-659.
- [91] Kouretzis, G.P., et al., Effect of interface friction on tunnel liner internal forces due to seismic S-and P-wave propagation. *Soil Dynamics Earthquake Engineering*, 2013. 46: p. 41-51.
- [92] Yu, H., et al., Damage observation and assessment of the Longxi tunnel during the Wenchuan earthquake. *Tunnelling Underground Space Technology*, 2016. 54: p. 102-116.
- [93] Chen, C.-H., et al., Mechanisms causing seismic damage of tunnels at different depths. *Tunnelling underground space technology*, 2012. 28: p. 31-40.
- [94] Amorosi, A., D.J.S.D. Boldini, and E. Engineering, Numerical modelling of the transverse dynamic behaviour of circular tunnels in clayey soils. *Soil Dynamics Earthquake Engineering*, 2009. 29(6): p. 1059-1072.
- [95] Sun, Q., et al., Impact of an underlying soft soil layer on tunnel lining in seismic conditions. *Tunnelling Underground Space Technology*, 2019. 90: p. 293-308.
- [96] Hleibieh, J., D. Wegener, and I.J.A.G. Herle, Numerical simulation of a tunnel surrounded by sand under earthquake using a hypoplastic
- [76] Zhou, S., et al., Dynamic response of a segmented tunnel in saturated soil using a 2.5-D FE-BE methodology. *Soil Dynamics Earthquake Engineering*, 2019. 120: p. 386-397.
- [77] Bilotta, E., et al., A numerical Round Robin on tunnels under seismic actions. *Acta Geotechnica*, 2014. 9(4): p. 563-579.
- [78] Tsinidis, G., K. Pitilakis, and C.J.B.o.E.E. Anagnostopoulos, Circular tunnels in sand: dynamic response and efficiency of seismic analysis methods at extreme lining flexibilities. *Bulletin of Earthquake Engineering*, 2016. 14(10): p. 2903-2929.
- [79] Kontoe, S., et al., On the relative merits of simple and advanced constitutive models in dynamic analysis of tunnels. *Géotechnique*, 2011. 61(10): p. 815-829.
- [80] Sun, Q., D.J.S.D. Dias, and E. Engineering, Significance of Rayleigh damping in nonlinear numerical seismic analysis of tunnels. *Soil Dynamics Earthquake Engineering*, 2018. 115: p. 489-494.
- [81] Andreotti, G. and C.J.B.o.E.E. Lai, A nonlinear constitutive model for beam elements with cyclic degradation and damage assessment for advanced dynamic analyses of geotechnical problems. Part II: validation and application to a dynamic soil–structure interaction problem. *Bulletin of Earthquake Engineering*, 2017. 15(7): p. 2803-2825.
- [82] Kampas, G., et al., The effect of tunnel lining modelling approaches on the seismic response of sprayed concrete tunnels in coarse-grained soils. *Soil Dynamics Earthquake Engineering*, 2019. 117: p. 122-137.
- [83] Bao, X., et al., Numerical analysis on the seismic behavior of a large metro subway tunnel in liquefiable ground. *Tunnelling Underground Space Technology*, 2017. 66: p. 91-106.
- [84] Mohsenian, V., et al., An investigation into the effect of soil-foundation interaction on the seismic performance of tunnel-form buildings. *Soil Dynamics Earthquake Engineering*, 2019. 125: p. 105747.
- [85] Abate, G. and M.R.J.B.o.E.E. Massimino, Numerical modelling of the seismic response of a tunnel–soil–aboveground building system in Catania (Italy). *Bulletin of Earthquake Engineering*, 2017. 15(1): p. 469-491.
- [86] Abate, G. and M.R.J.B.o.E.E. Massimino, Parametric analysis of the seismic response of

- [108] Hu, X., et al., A real-life stability model for a large shield-driven tunnel in heterogeneous soft soils. *Frontiers of Structural Civil Engineering*, 2012. 6(2): p. 176-187.
- [109] Cheng, H., et al., Comparison of modeling soil parameters using random variables and random fields in reliability analysis of tunnel face. *International Journal of Geomechanics*, 2019. 19(1): p. 04018184.
- [110] Gholampour, A., A.J.C. Johari, and Geotechnics, Reliability-based analysis of braced excavation in unsaturated soils considering conditional spatial variability. *Computers Geotechnics*, 2019. 115: p. 103163.
- [111] Cheng, H., J. Chen, and J.I.J.o.G. Li, Probabilistic analysis of ground movements caused by tunneling in a spatially variable soil. *International Journal of Geomechanics*, 2019. 19(12): p. 04019125.
- [97] Argyroudis, S., K.J.S.D. Pitilakis, and E. Engineering, Seismic fragility curves of shallow tunnels in alluvial deposits. *Soil Dynamics Earthquake Engineering*, 2012. 35: p. 1-12.
- [98] Laib, A., et al., Modeling of soil heterogeneity and its effects on seismic response of multi-support structures. *Earthquake Engineering Vibration*, 2015. 14(3): p. 423-437.
- [99] Chen, Z., et al., Seismic performance of an immersed tunnel considering random soil properties and wave passage effects. *Structure Infrastructure Engineering*, 2018. 14(1): p. 89-103.
- [100] Zhang, L. and Y.J.U.S. Liu, Numerical investigations on the seismic response of a subway tunnel embedded in spatially random clays. *Underground Space*, 2020. 5(1): p. 43-52.
- [101] Yan, X., et al., Multi-point shaking table test design for long tunnels under non-uniform seismic loading. *Tunnelling Underground Space Technology*, 2016. 59: p. 114-126.
- [102] Bao, Z., et al., Multi-scale physical model of shield tunnels applied in shaking table test. *Soil Dynamics Earthquake Engineering*, 2017. 100: p. 465-479.
- [103] Yu, H., et al., Multi-point shaking table test of a long tunnel subjected to non-uniform seismic loadings. *Bulletin of Earthquake Engineering*, 2018. 16(2): p. 1041-1059.
- [104] Anastasopoulos, I. and G.J.B.o.E.E. Gazetas, Analysis of cut-and-cover tunnels against large tectonic deformation. *Bulletin of Earthquake Engineering*, 2010. 8(2): p. 283-307.
- [105] Nam, S.-H., et al., Seismic analysis of underground reinforced concrete structures considering elasto-plastic interface element with thickness. *Engineering Structures*, 2006. 28(8): p. 1122-1131.
- [106] Hatzigeorgiou, G.D., D.E.J.S.D. Beskos, and E. Engineering, Soil-structure interaction effects on seismic inelastic analysis of 3-D tunnels. *Soil Dynamics Earthquake Engineering*, 2010. 30(9): p. 851-861.
- [107] Argyroudis, S., et al., Effects of SSI and lining corrosion on the seismic vulnerability of shallow circular tunnels. *Soil dynamics earthquake engineering*, 2017. 98: p. 244-256.

# Seismic Design and Assessment of Urban Tunnels- A Literature Review on Modelling Studies

AliAkbar Golshani<sup>1\*</sup>, Ehsan Moradabadi<sup>2</sup>, Amirhossein Rezaei<sup>3</sup>

1- Associate Professor, Civil Engineering, Tarbiat Modares University, Tehran

2- PhD, Civil Engineering, University College Dublin (UCD), Ireland

3- Master student, Civil Engineering, Tarbiat Modares University, Tehran

Golshani@modares.ac.ir

## Abstract

Advancements in tunnelling technologies and ease of implementation of drilling methods in addition of other political and security issues made the construction of underground structures as an important alternative for answering the demands of population growth and the limitations of surface spaces in urban areas. Underground roads and highways, various types of tunnels and urban subway networks are the examples of underground structures being constructed and rapidly implemented in different countries. Meanwhile, for reducing negative effects to the environment, shortening the routes and improving traffic efficiency, urban tunnels should have high level of safety standards in design, construction and operation. Tunnels are considered major national projects and infrastructure investments, and huge costs are incurred around the world to build these structures. In countries located in highly active seismic zone, such as Iran, seismic researches for such important underground structures should not be ignored. The safety of such structures should be provided with respect to all loading demands and hazards issues associated with the site, including seismic loads. Reviewing seismic events in the past shows that underground structures have suffered less damage than above ground structures against seismic loads. However, in recent years, major earthquakes such as the 1995 Kobe earthquake in Japan, the 1999 Chi-Chi earthquake in Taiwan, the 1999 Kocaeli earthquake in Turkey, and the 2008 Wenchuan earthquake in China have caused underground structures to experience significant damage. There is evidence to conclude that the structural vulnerability of a tunnel in seismically active areas is an important issue but is either not yet well understood or not well assessed at the time of construction, emphasising that dynamic analysis of these structures against seismic loads is necessary. Earthquakes are likely to significantly affect tunnel performance by causing severe damage or excessive deformation of the tunnel structure. To understand the seismic-induced behaviour and performance of urban tunnels, this paper provides the state of the art in modelling studies of seismic design and assessment of tunnels. The review includes an investigation in seismic responses of real tunnels reported during past seismic events, the probable mechanisms caused damages in tunnels and physical and numerical methods used until now to either investigate those mechanisms or implemented in new designs. As an introduction, the seismic performance of tunnels affected by previous seismic events discusses first, emphasising the effective parameters in evaluation of tunnel seismic response and the relationship between the parameters, and the damage levels caused during earthquakes. Subsequently, the paper continues with a comprehensive literature review on the experimental methods used to investigate seismic-induced response in tunnels including physical testing, centrifuge tests, shaking table tests, and static tests. Analytical, quasi-static and numerical methods of dynamic analysis of tunnels and the accuracy of these methods are discussed then in details referring to some examples. The paper also reviews the effects of soil heterogeneity in the seismic response of tunnel and application of the random field for dynamic analysis of underground structures. Examining the achievements and challenges remained in the field, the paper concludes with the existing gaps in the field to stimulate readers for doing more relevant researches.

**Keywords:** Tunnel, dynamic analysis, analytical methods, physical methods, numerical modelling